

統計的機械学習

Statistical Machine Learning

理論基盤から深層学習・Transformer まで

Yugo Nakayama

2026 年 2 月 9 日

目次

第Ⅰ部 統計的機械学習 (Statistical Machine Learning)	5
第 1 章 教師あり学習の枠組み	7
1.1 統計的機械学習とは	7
1.2 回帰モデルと損失関数	9
1.3 回帰モデルと損失関数	9
1.4 経験リスク最小化 (ERM) と汎化誤差	10
1.5 VC 次元と Rademacher 複雑度	10
第 2 章 線形分類器と最適化	13
2.1 パーセプトロンと SVM の双対問題	13
2.2 ロジスティック回帰：凸性と最尤推定	14
2.3 勾配降下法 (GD) の収束	14
2.4 サポートベクターマシン (SVM)	15
第 3 章 カーネル法と RKHS	21
3.1 再現核ヒルベルト空間の定義	21
3.2 カーネルトリックと代表定理	21
3.3 正則化パスとノルム最小化	22
3.4 ガウス過程回帰	23
第 4 章 汎化理論：経験過程	29
4.1 Hoeffding 不等式と一様収束	29
4.2 Rademacher 平均と高速率境界	29
4.3 VC クラスのシャタリングと高速化	30
第 5 章 深層ニューラルネットワーク	33
5.1 パーセプトロンから多層ネットワークへ	33
5.2 バックプロパゲーションと勾配消失	33
5.3 Neural Tangent Kernel と無限幅限界	33
5.4 二重降下現象と暗黙的正則化	34
第 6 章 最適化：確率的勾配法	37
6.1 SGD と Robbins-Monro 収束	37
6.2 Momentum と Nesterov 加速	37
6.3 Adam と適応的学習率	38

第 7 章	高次元統計機械学習 Ša : スパース回帰	39
7.1	Lasso の Oracle 不等式	39
7.2	変数選択一致性と irrepresentable 条件	39
7.3	グループ Lasso と構造化スパース	40
第 8 章	高次元統計機械学習 ŠeGLM 正則化	41
8.1	Logistic Lasso の RSC 条件	41
8.2	一般化線形モデルの統一理論	41
8.3	ポアソン回帰とカウントデータ	42
第 9 章	再帰ニューラルネットワーク	43
9.1	Vanilla RNN と BPTT	43
9.2	勾配消失・爆発のスペクトル解析	43
9.3	LSTM : ゲート機構と定数誤差カーソル	44
第 10 章	Transformer アーキテクチャ	47
10.1	Self-Attention とスケーリング	47
10.2	Multi-Head Attention と位置符号化	47
10.3	事前学習 : BERT/GPT/T5	48
10.4	Vision Transformer(ViT) と多モード + 2026 年トレンド	48
付録 A	集中不等式の拡張	51
A.1	Matrix Bernstein 不等式	51
A.2	Talagrand 不等式と経験過程	51
A.3	PAC-Bayes 境界	51
A.4	近接算子と加速勾配法	52
A.5	Mirror Descent と Bregman 発散	52

第 I 部

統計的機械學習 (Statistical Machine Learning)

第 1 章

教師あり学習の枠組み

1.1 統計的機械学習とは

本書で扱う「統計的機械学習」は、次の二つの立場を統合したものとみなせる。

- 統計学：観測データから未知の構造を推定し、不確実性を評価する学問。
- 機械学習：予測精度を最優先に、柔軟な関数クラスと最適化アルゴリズムを組み合わせる技術。

古典的な数理統計では、有限次元パラメータ $\theta \in \mathbb{R}^p$ を持つ確率モデル $p_\theta(y)$ を仮定し、最尤推定やベイズ推定により θ を推定する。これに対して現代の機械学習では、

- 入力 $X \in \mathcal{X} \subset \mathbb{R}^d$,
- 出力 $Y \in \mathcal{Y}$ (連続値/離散ラベル),
- それらの生成分布 P_{XY}

が存在すると仮定し、入力から出力を予測する関数

$$f : \mathcal{X} \rightarrow \mathcal{Y}$$

を直接的に学習する。 θ の次元はもはや固定されておらず、ニューラルネットワークやカーネル法のように、無限次元の関数空間上で最適化することが標準となっている。

本章では、その最も基本的な設定である「教師あり学習」の枠組みを整理し、

- 回帰モデルと損失関数、
- 経験リスク最小化 (ERM) と汎化誤差、
- VC 次元や Rademacher 複雑度によるモデル複雑度の制御

を導入する。これらは、以降で扱う SVM, カーネル法, 深層学習の共通の基盤となる。

1.1.1 教師あり学習の基本シナリオ

機械学習の典型的なタスクは、以下のように記述できる。

- ある現象を表すペアデータ

$$\{(x_i, y_i)\}_{i=1}^n \stackrel{\text{iid}}{\sim} P_{XY}$$

が観測される。ここで x_i は説明変数（入力）、 y_i は目的変数（出力）である。

- 我々は P_{XY} の詳細な形は知らないが、「似た入力には似た出力が現れる」という規則性が存在すると期待する。

- 目的は、新しい入力 X_{new} に対して、対応する出力 Y_{new} をできるだけ正確に予測する関数 f を学習することである。

このとき、自然な指標として

- 実際の Y と予測 $\hat{Y} = f(X)$ の乖離を測る損失関数 $\ell(Y, \hat{Y})$,
- その期待値

$$R(f) = \mathbb{E}[\ell(Y, f(X))]$$

(真のリスク)

を考える。統計的機械学習の中心的な問題は、「有限個の標本から、この期待損失 $R(f)$ をできるだけ小さくするような関数 f を選ぶにはどうすればよいか」である。

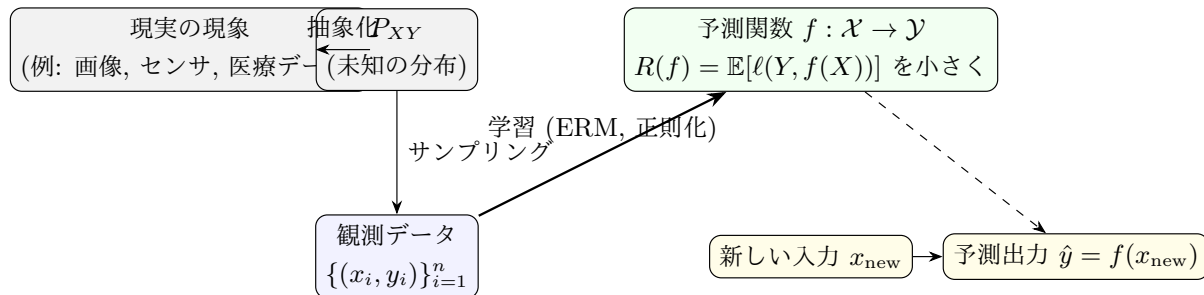


図 1.1 統計的機械学習の枠組み：現実の現象からデータを通じて予測関数を学習する

1.1.2 なぜ回帰から始めるか

本書では、教師あり学習の導入として回帰問題（連続値出力）から出発する。

- 二値分類や多クラス分類も、多くの場合「回帰+しきい値」の形に書き直せる。
- 深層学習や Transformer でも、最終層は「実数ベクトルを出力して損失を計算する回帰問題」として実装されている。
- 回帰設定では、二乗損失によって条件付き期待値

$$f^*(x) = \mathbb{E}[Y | X = x]$$

が自然に現れ、後の GLM・深層ネットワークの議論にスムーズにつながる。

したがって本章では、まず「回帰+損失関数」という最も素朴な設定から始め、その中で

- ERM による推定、
- 真のリスク $R(f)$ の分解（近似誤差+推定誤差）、
- モデル複雑度と汎化誤差のトレードオフ

を丁寧に理解する。分類や確率予測は、この枠組みの上で損失関数を変えるだけで扱えることを、第 2 章以降で確認する。

1.1.3 本章の流れ

1. **1.1 回帰モデルと損失関数**：教師あり学習の形式的定義を与え、二乗損失・MAE・Huber 損失などを比較する。

2. 1.2 経験リスク最小化と汎化誤差 : ERM のアイデアを述べ、真のリスクと経験リスクの差（汎化誤差）を Hoeffding 不等式と ε -net 論理で評価する（定理 1.4）。
3. 1.3 VC 次元と Rademacher 複雑度 : 仮説クラスの「容量」を測る概念を導入し、なぜ複雑すぎるモデルが過学習を起こすのかを理論的に説明する。

こうした基礎の上に、2 章以降の

- 線形分類器と最適化（パーセプトロン、ロジスティック回帰、SVM）、
- カーネル法と RKHS、
- 深層ニューラルネットワーク、
- 高次元スパース推定（Lasso, GLM Lasso）

を順次積み上げていく。

1.2 回帰モデルと損失関数

は、観測データ $\{(x_i, y_i)\}_{i=1}^n$ から未知の条件付き期待値関数 $\mathbb{E}[Y|X = x] = f^*(x)$ を推定する問題である。数理統計のパラメータ推定とは異なり、「無限次元関数空間 \mathcal{F} 上の最適化」が特徴である。

1.3 回帰モデルと損失関数

定義 1.1 (教師あり学習). 入力空間 $\mathcal{X} \subset \mathbb{R}^d$ 、出力 $\mathcal{Y} \subset \mathbb{R}$ に対し、標本 $\{(x_i, y_i)\}_{i=1}^n \stackrel{iid}{\sim} P_{XY}$ が与えられたとき、関数クラス \mathcal{F} から

$$\hat{f}_n = \underset{f \in \mathcal{F}}{\operatorname{argmin}} \frac{1}{n} \sum_{i=1}^n \ell(f(x_i), y_i) + \lambda R(f)$$

を経験リスク最小化 (ERM) と呼ぶ。ここで $\ell: \mathcal{Y} \times \mathcal{Y} \rightarrow \mathbb{R}_+$ は損失関数（例：二乗損失 $\ell(y, \hat{y}) = (y - \hat{y})^2$ ）、 $R(f)$ は正則化項（例： $R(f) = \|f\|_{\mathcal{H}}^2$ ）。

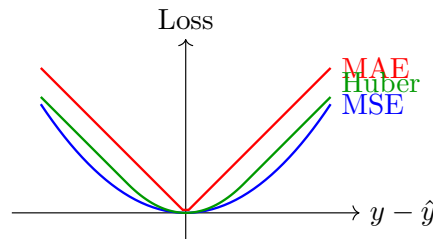


図 1.2 損失関数の比較：MSE（滑らか）、MAE（頑健）、Huber（折衷）

定理 1.2 (汎化誤差の分解). 任意の $f \in \mathcal{F}$ に対し、

$$R(f) := \mathbb{E}[\ell(f(X), Y)] = \underbrace{\mathbb{E}[\ell(f^*(X), Y)]}_{\text{近似誤差}} + \underbrace{\mathbb{E}[(f(X) - f^*(X))^2]}_{\text{推定誤差}}$$

が成立する（二乗損失の場合）。

証明. 条件付き期待値 $f^*(x) = \mathbb{E}[Y|X = x]$ を代入：

$$\begin{aligned} \ell(f(X), Y) &= (f(X) - Y)^2 = (f(X) - f^*(X) + (f^*(X) - Y))^2 \\ &= (f(X) - f^*(X))^2 + 2(f(X) - f^*(X))(f^*(X) - Y) + (f^*(X) - Y)^2 \end{aligned}$$

2 番目の交叉項は $\mathbb{E}[(f^*(X) - Y)|X] = 0$ より期待値 0。よって期待値をとると結論を得る。 \square

注意 1.3 (高校数学補完モジュール). 推定誤差はさらに $\text{Bias}[f(X)]^2 + \text{Var}[f(X)]$ に分解可能 (バイアス-バリアンス分解)。

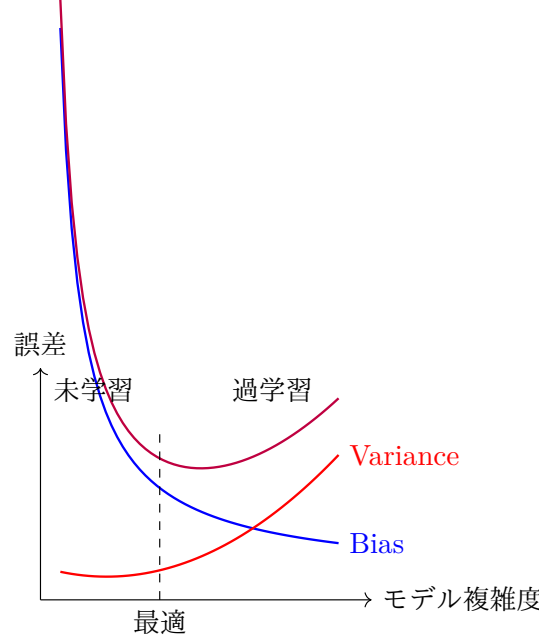


図 1.3 Bias-Variance トレードオフ：複雑度増加でバイアス減少・分散増加

1.4 経験リスク最小化 (ERM) と汎化誤差

定理 1.4 (ERM の汎化保証). \mathcal{F} が VC 次元 $V < \infty$ の関数クラスとし、損失 ℓ が L -Lipschitz ならば、確率 $1 - \delta$ で

$$R(\hat{f}_n) \leq \inf_{f \in \mathcal{F}} R(f) + C \left(\sqrt{\frac{V \log n + \log(1/\delta)}{n}} + L \sqrt{\frac{\log(1/\delta)}{n}} \right)$$

証明の骨子. Hoeffding 不等式と ϵ -net 論理：経験リスク $\hat{R}_n(f) := \frac{1}{n} \sum \ell(f(x_i), y_i)$ と真リスク $R(f)$ の差を一様制御。 $\sup_{f \in \mathcal{F}} |\hat{R}_n(f) - R(f)| = O_p(\sqrt{V/n})$ を示す。 \square

注意 1.5 (実社会イメージ). 機械学習コンペ (Kaggle) では交差検証 (CV) で経験誤差を評価し、VC 理論でモデル複雑度を制御する。

1.5 VC 次元と Rademacher 複雑度

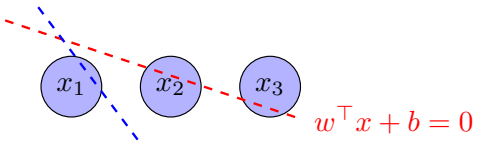
定義 1.6 (VC 次元). 仮説クラス \mathcal{H} の VC 次元 $\text{VC}(\mathcal{H})$ とは、最も多く \mathcal{H} でシャタリング可能な点集合の最大サイズである。

例題 1.7. 半空間 $\mathcal{H} = \{x \mapsto \text{sign}(w^\top x + b)\}$ の VC 次元は $d + 1$ である。

定理 1.8 (Rademacher 複雑度境界). Rademacher 変数 $\epsilon_i = \pm 1$ に対し、

$$\mathbb{E} \left[\sup_{h \in \mathcal{H}} \frac{1}{n} \sum_{i=1}^n \epsilon_i h(x_i) \right] \leq C \sqrt{\frac{\text{VC}(\mathcal{H}) \log n}{n}}$$

証明. Massart の有限類逼近定理と ϵ -covering number の対数が VC 次元に比例することを用いる。 \square



$$2^3 = 8 \text{ ラベル全て実現可能} \Rightarrow \text{VC} \geq 3$$

図 1.4 VC 次元 : 3 点のシャタリング例 (半空間)

演習 1.1. 1. 二乗損失の代替として Huber 損失 $\ell_\delta(t) = \frac{1}{2}t^2 \cdot \mathbf{1}_{|t| \leq \delta} + \delta(|t| - \frac{\delta}{2}) \cdot \mathbf{1}_{|t| > \delta}$ のロバスト性を証明せよ。

2. VC 次元 $V = 3$ のクラスで $n = 100$ 、 $\delta = 0.05$ のときの汎化境界を数値計算せよ。
3. 過学習メカニズムを Bias-Variance 分解で説明し、早期停止の理論的正当性を Hoeffding 不等式で示せ。

第 1 章のまとめ

- 機械学習 = 無限次元パラメータ空間上の ERM
- 汎化誤差 = 近似誤差 + 推定誤差
- VC 次元が学習可能性の鍵
- Bias-Variance トレードオフによるモデル選択

第 2 章

線形分類器と最適化

線形分類器は、教師あり学習の基盤であり、数理統計の最尤推定・凸最適化と機械学習最適化の架け橋となる。本章ではパーセプトロンからロジスティック回帰、勾配降下法までを数理的に整備する。

2.1 パーセプトロンと SVM の双対問題

定義 2.1 (パーセプトロン). データ $(x_i, y_i) \in \mathbb{R}^d \times \{\pm 1\}$ に対し、重み $w \in \mathbb{R}^d$ 、バイアス $b \in \mathbb{R}$ を

$$\hat{y}_i = \text{sign}(w^\top x_i + b)$$

で予測。誤分類 ($y_i \hat{y}_i < 0$) 時に更新 :

$$w \leftarrow w + \eta y_i x_i, \quad b \leftarrow b + \eta y_i$$

定理 2.2 (パーセプトロン収束定理). データが線形分離可能 $\{y_i(w^\top x_i + b) > 0\}$ で、 $\gamma = \min_i y_i(w^\top x_i + b)/\|w\| > 0$ (マージン) ならば、更新回数 $k \leq 1/\gamma^2$ で収束。

証明. 関数 $\Phi(w) = \min_i y_i(w^\top x_i + b)$ を考え、誤分類時 $\Phi(w_{k+1}) \geq \Phi(w_k) + \eta\gamma\|x_i\|$ 。 $\Phi \geq 0$ で上限 $2R^2$ ($R = \max \|x_i\|$) より有限ステップで収束。 \square

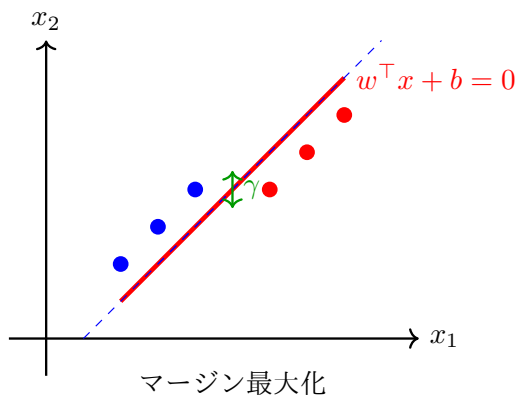


図 2.1 パーセプトロン : マージン γ で収束保証

注意 2.3 (高校数学補完モジュール). SVM との関係は双対問題 $\max_{\alpha} \sum \alpha_i - \frac{1}{2} \sum \alpha_i \alpha_j y_i y_j x_i^\top x_j$ 。カーネル化で非線形分離可能。

2.2 ロジスティック回帰：凸性と最尤推定

定義 2.4 (ロジスティック回帰). $P(y_i = 1|x_i) = \sigma(w^\top x_i + b)$ 、 $\sigma(t) = 1/(1 + e^{-t})$ とし、負対数尤度を最小化：

$$L(w, b) = -\frac{1}{n} \sum_{i=1}^n \left[y_i(w^\top x_i + b) - \log(1 + e^{w^\top x_i + b}) \right]$$

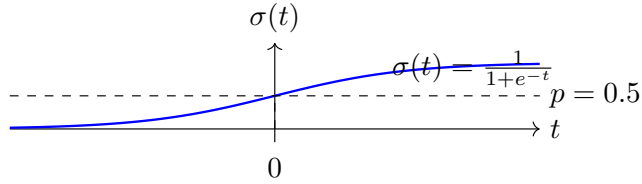


図 2.2 ロジスティックシグモイド関数：確率出力

定理 2.5 (凸性と勾配). L は w, b について凸関数。勾配：

$$\nabla_w L = \frac{1}{n} \sum_{i=1}^n (\sigma(w^\top x_i + b) - y_i)x_i, \quad \frac{\partial L}{\partial b} = \frac{1}{n} \sum_{i=1}^n (\sigma(w^\top x_i + b) - y_i)$$

証明. $\sigma''(t) = \sigma(t)(1 - \sigma(t)) > 0$ より σ は凸。合成関数 $\phi(w^\top x) = \log(1 + e^\phi)$ も凸 (e^t 凸より)。 \square

注意 2.6 (実社会イメージ). 医療診断で「確率」を出力。ROC 曲線下面積 (AUC) が性能指標。

2.3 勾配降下法 (GD) の収束

定義 2.7 (勾配降下法). $\eta > 0$ を学習率とし、

$$w_{k+1} = w_k - \eta \nabla L(w_k), \quad b_{k+1} = b_k - \eta \frac{\partial L}{\partial b}(b_k)$$

定理 2.8 (GD 収束 : L -滑らか凸関数). L が L -Lipschitz 滑らか $\|\nabla L(w) - \nabla L(w')\| \leq L\|w - w'\|$ 、強凸 $\mu > 0$ なら、

$$\|\nabla L(w_K)\|^2 \leq \frac{2L}{\eta K} (L(w_0) - L^*), \quad \eta = \frac{2}{L + \mu}$$

証明. 滑らか性より $L(w_{k+1}) \leq L(w_k) + \nabla L(w_k)^\top (w_{k+1} - w_k) + \frac{L}{2}\|w_{k+1} - w_k\|^2$ 。 $\eta = 2/(L + \mu)$ で再帰的に減少を示す。 \square

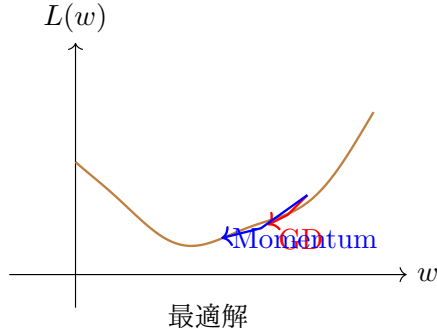


図 2.3 GD vs Momentum : 谷底振動抑制

注意 2.9 (高校数学補完モジュール). Adam 等の適応的学习率は、過去勾配の 2 次モーメントで η_t を動的調整 :

$$m_t = \beta_1 m_{t-1} + (1 - \beta_1) \nabla L_t, \quad v_t = \beta_2 v_{t-1} + (1 - \beta_2) \nabla L_t^2$$

$\hat{m}_t = m_t / (1 - \beta_1^t)$ 、 $\hat{v}_t = v_t / (1 - \beta_2^t)$ で補正し $\eta_t / \sqrt{\hat{v}_t}$ 。

- 演習 2.1.**
1. パーセプトロン更新が w の凸結合 $\sum \lambda_i y_i x_i$ ($\lambda_i \geq 0$ 、 $\sum \lambda_i = 1$) を生成することを示せ。
 2. ロジスティック損失 $\log(1 + e^{-y(f(x))})$ が上界 $\max(0, -yf(x)) + \log 2$ を持つことを証明せよ。
 3. L -滑らか関数で加速勾配法 (Nesterov) が GD より $O(1/\sqrt{K})$ 改善を示せ。
 4. 二乗損失とクロスエントロピーの勾配が $(y - \hat{y})$ で一致することを確認せよ。

2.4 サポートベクターマシン (SVM)

線形分類器のうち、マージン最大化に基づく代表的手法がサポートベクターマシン (SVM) である。本節では、ハードマージン・ソフトマージン SVM の定式化、双対問題とカーネルトリック、パーセプトロンとの関係を整理する。

2.4.1 ハードマージン SVM : マージン最大化

まずデータが完全に線形分離可能な場合を考える。

定義 2.10 (幾何マージン). 超平面 $\{x : w^\top x + b = 0\}$ による分類器 $\hat{y} = \text{sign}(w^\top x + b)$ を考える。各サンプル (x_i, y_i) に対する「符号付き距離」は

$$\gamma_i = \frac{y_i(w^\top x_i + b)}{\|w\|_2}$$

この最小値

$$\gamma(w, b) = \min_{1 \leq i \leq n} \gamma_i$$

を、超平面 (w, b) の幾何マージンと呼ぶ。

定義 2.11 (ハードマージン SVM). データ集合が線形分離可能、すなわちある (w, b) が存在して $y_i(w^\top x_i + b) > 0$ を満たすとき、ハードマージン SVM は

$$\begin{aligned} & \max_{w, b} \gamma(w, b) \\ & \text{s.t. } y_i(w^\top x_i + b) \geq \gamma(w, b), \quad i = 1, \dots, n \end{aligned}$$

によってマージンを最大化する分類器を求める。

実際の定式化では、スケール不定性 $((w, b)$ を同じ定数でスケーリングしても超平面は変わらない) を解消するため、 $\gamma = 1/\|w\|$ と正規化して次の凸最適化問題に帰着させる。

命題 2.12 (標準形). 線形分離可能なとき、マージン最大化問題は

$$\begin{aligned} & \min_{w, b} \frac{1}{2} \|w\|_2^2 \\ & \text{s.t. } y_i(w^\top x_i + b) \geq 1, \quad i = 1, \dots, n \end{aligned}$$

と同値である。

証明. 任意の分離超平面 (\tilde{w}, \tilde{b}) に対し、 $\tilde{\gamma} = \min_i y_i(\tilde{w}^\top x_i + \tilde{b}) / \|\tilde{w}\| > 0$ とおく。 $(w, b) = (\tilde{w}/\tilde{\gamma}, \tilde{b}/\tilde{\gamma})$ とスケーリングすれば、すべての i で

$$y_i(w^\top x_i + b) = \frac{1}{\tilde{\gamma}} y_i(\tilde{w}^\top x_i + \tilde{b}) \geq 1$$

このとき幾何マージンは

$$\gamma(w, b) = \min_i \frac{y_i(w^\top x_i + b)}{\|w\|} = \frac{1}{\|w\|} = \frac{\tilde{\gamma}}{\|\tilde{w}\|}$$

したがって、マージン最大化は $\|w\|^{-1}$ 最大化と同値であり、変数変換のもとで $\|w\|$ 最小化に帰着する。目的関数を $\frac{1}{2}\|w\|^2$ と書き換えた命題の問題は凸二次計画問題である。□

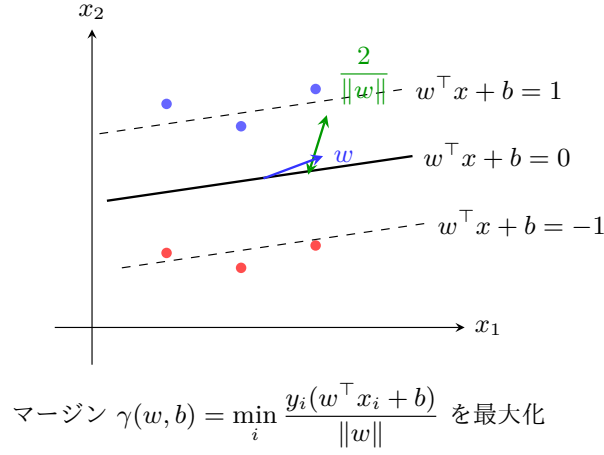


図 2.4 ハードマージン SVM：決定境界とマージン幅

2.4.2 双対問題とサポートベクトル

命題 2.12 の問題は小次元ではそのまま解けるが、高次元・カーネル化を考えると双対問題が有用になる。

命題 2.13 (ハードマージン SVM の双対問題). 命題 2.12 に対するラグランジュ関数

$$\mathcal{L}(w, b, \alpha) = \frac{1}{2}\|w\|_2^2 - \sum_{i=1}^n \alpha_i \{y_i(w^\top x_i + b) - 1\}, \quad \alpha_i \geq 0$$

を考えると、原問題と等価な双対問題は

$$\begin{aligned} & \max_{\alpha \in \mathbb{R}^n} \sum_{i=1}^n \alpha_i - \frac{1}{2} \sum_{i,j=1}^n \alpha_i \alpha_j y_i y_j x_i^\top x_j \\ & \text{s.t. } \sum_{i=1}^n \alpha_i y_i = 0, \quad \alpha_i \geq 0 \end{aligned}$$

で与えられる。最適解 α^* に対し、

$$w^* = \sum_{i=1}^n \alpha_i^* y_i x_i$$

が成り立つ。

証明. \mathcal{L} を w, b で最小化すると、

$$\frac{\partial \mathcal{L}}{\partial w} = w - \sum_i \alpha_i y_i x_i = 0 \Rightarrow w = \sum_i \alpha_i y_i x_i$$

$$\frac{\partial \mathcal{L}}{\partial b} = -\sum_i \alpha_i y_i = 0 \Rightarrow \sum_i \alpha_i y_i = 0$$

これを \mathcal{L} に代入すると

$$\mathcal{L}(w(\alpha), b(\alpha), \alpha) = \sum_i \alpha_i - \frac{1}{2} \sum_{i,j} \alpha_i \alpha_j y_i y_j x_i^\top x_j$$

したがって、双対関数の最大化が命題の双対問題となる。凸性と Slater 条件より強双対性が成り立ち、原問題と双対問題の最適値は一致する。 \square

命題 2.14 (サポートベクトルの性質). 1. KKT 条件より、最適解では

$$\alpha_i^* > 0 \Rightarrow y_i(w^{*\top} x_i + b^*) = 1$$

すなわち決定境界上の点のみが $\alpha_i^* > 0$ となる。

2. w^* は $\alpha_i^* > 0$ のサンプルのみから構成される：

$$w^* = \sum_{i:\alpha_i^*>0} \alpha_i^* y_i x_i$$

これらの点をサポートベクトルと呼ぶ。

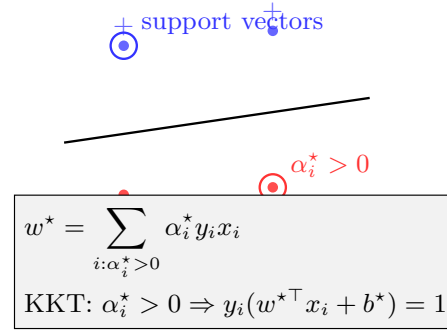


図 2.5 双対問題：サポートベクトルのみが w^* に寄与

2.4.3 ソフトマージン SVM とヒンジ損失

現実にはノイズやラベル誤りが存在するため、全データを完全分離するのは適切でない。ソフトマージン SVM では、スラック変数を導入して誤分類を許容する。

定義 2.15 (ソフトマージン SVM : 原問題).

$$\begin{aligned} \min_{w,b,\xi} \quad & \frac{1}{2} \|w\|_2^2 + C \sum_{i=1}^n \xi_i \\ \text{s.t. } \quad & y_i(w^\top x_i + b) \geq 1 - \xi_i, \quad \xi_i \geq 0, \quad i = 1, \dots, n \end{aligned}$$

ここで ξ_i はマージン制約の違反量を表す。目的関数の第二項が違反の総量を罰し、 $C > 0$ が正則化強度を制御する。

命題 2.16 (ヒンジ損失形式). ソフトマージン SVM は等価な unconstrained 形式

$$\min_{w,b} \frac{1}{2} \|w\|_2^2 + C \sum_{i=1}^n \max(0, 1 - y_i(w^\top x_i + b))$$

として書き換えられる。

完全証明. 固定した (w, b) に対し、各 ξ_i の最適化は独立：

$$\min_{\xi_i \geq 0} C\xi_i \quad \text{s.t. } y_i(w^\top x_i + b) \geq 1 - \xi_i$$

制約は $\xi_i \geq 1 - y_i(w^\top x_i + b)$ かつ $\xi_i \geq 0$ と同値。目的関数 $C\xi_i$ は単調増加なので、最適解は

$$\xi_i^* = \max(0, 1 - y_i(w^\top x_i + b))$$

これを元の目的関数に代入すれば、ヒンジ損失形式を得る。 \square

2.4.4 カーネルトリックによる非線形 SVM

双対問題の目的関数は内積 $x_i^\top x_j$ のみから成る。したがって、これを一般の正定値核 $K(x_i, x_j)$ に置き換えることで非線形分類器を得る。

定理 2.17 (カーネル SVM). K を任意の正定値核とすると、双対問題

$$\begin{aligned} \max_{\alpha} & \sum_{i=1}^n \alpha_i - \frac{1}{2} \sum_{i,j=1}^n \alpha_i \alpha_j y_i y_j K(x_i, x_j) \\ \text{s.t. } & \sum_{i=1}^n \alpha_i y_i = 0, \quad 0 \leq \alpha_i \leq C \end{aligned}$$

の解 α^* から、決定関数

$$f(x) = \sum_{i=1}^n \alpha_i^* y_i K(x_i, x) + b^*$$

を得る。ここで b^* は KKT 条件から決定されるバイアスである。

スケッチ. Moore-Aronszajn 定理より、核 K に対し RKHS \mathcal{H}_K と特徴写像 ϕ が存在し

$$K(x, x') = \langle \phi(x), \phi(x') \rangle_{\mathcal{H}_K}$$

線形 SVM を特徴空間 $\phi(x)$ 上で定義すれば、決定関数は $f(x) = \sum_i \alpha_i^* y_i K(x_i, x) + b^*$ となり、元の空間での非線形境界に対応する。 \square

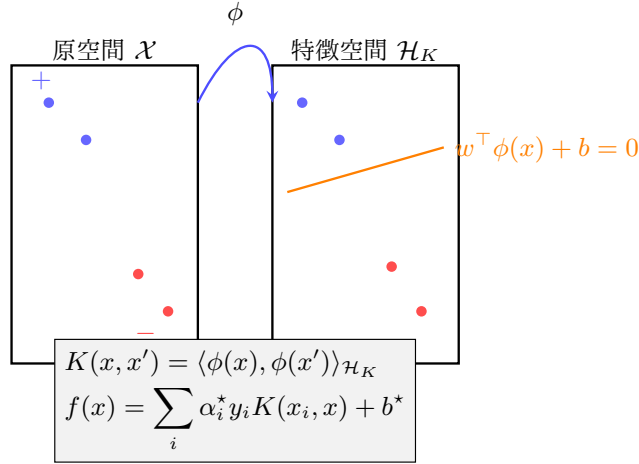


図 2.6 カーネル SVM：原空間では非線形だが、特徴空間では線形分離

2.4.5 パーセプトロンとの関係

第 2.1 節のパーセプトロンは、誤分類がある限り更新を続けるオンラインアルゴリズムであった。SVM は、一度データ全体を見た上でマージン最大化するバッチ最適化に相当し、次のような関係がある。

- パーセプトロン更新で得られる解は、訓練データを正しく分離するが、必ずしもマージン最大ではない。
- パーセプトロンを「平均化」したり、学習率を適切に減衰させると、最大マージン解に近づくことが知られている (Margin Perceptron / Passive-Aggressive など)。
- 一方 SVM は、明示的に $\|w\|^2$ を最小化して最大マージン解を求める。

- 演習 2.2.**
1. 双対問題の導出：ハードマージン SVM の原問題からラグランジュ乗数法により双対問題を導出し、KKT 条件をすべて書き下せ。
 2. ヒンジ損失の凸性と subgradient : $\ell(z) = \max(0, 1 - z)$ が凸関数であることを示し、任意の z における subgradient 集合 $\partial\ell(z)$ を求めよ。
 3. サポートベクトルとマージン：ハードマージン SVM の解に対し、任意のサポートベクトル x_i について

$$\gamma(w^*, b^*) = \frac{y_i(w^{*\top} x_i + b^*)}{\|w^*\|} = \frac{1}{\|w^*\|}$$

が成り立つことを確認し、マージンが支持平面に接する点によって決まることを説明せよ。

4. 線形不可分データとソフトマージン：1 次元データ $(x_1, y_1) = (-1, 1)$ 、 $(x_2, y_2) = (0, -1)$ 、 $(x_3, y_3) = (1, 1)$ に対して、(a) ハードマージン SVM が不可解であること、(b) ソフトマージン SVM では有限の最適解が存在することを確認せよ。

第 2 章のまとめ

- パーセプトロン：オンライン学習の原型、マージン保証
- ロジスティック回帰：最尤推定=凸最適化
- GD：理論的収束保証、Adam で高速化
- 凸性が最適化の鍵

第3章

カーネル法とRKHS

線形分類器を非線形に拡張するため、カーネル法を用いて無限次元特徴空間への写像 $\phi : \mathcal{X} \rightarrow \mathcal{H}$ を導入する。再現核ヒルベルト空間 (RKHS) は、カーネル法の数学的基盤であり、正則化理論の中核である。

3.1 再現核ヒルベルト空間の定義

定義 3.1 (正定値核). $K : \mathcal{X} \times \mathcal{X} \rightarrow \mathbb{R}$ が正定値核 (positive definite kernel) とは、任意の $\{x_1, \dots, x_n\} \subset \mathcal{X}$ 、 $\{c_1, \dots, c_n\} \subset \mathbb{R}$ に対し、

$$\sum_{i,j=1}^n c_i c_j K(x_i, x_j) \geq 0$$

定理 3.2 (Moore-Aronszajn 定理). すべての正定値核 K に対し、特徴写像 $\phi : \mathcal{X} \rightarrow \mathcal{H}_K$ と RKHS \mathcal{H}_K が存在：

$$K(x, x') = \langle \phi(x), \phi(x') \rangle_{\mathcal{H}_K}, \quad \mathcal{H}_K = \text{span}\{K(x, \cdot) \mid x \in \mathcal{X}\}$$

- 例題 3.3** (典型核).
- 多項式核 : $K(x, x') = (x^\top x' + c)^d$
 - RBF 核 (ガウス核) : $K(x, x') = \exp(-\|x - x'\|^2 / 2\sigma^2)$
 - ラプラス核 : $K(x, x') = \exp(-\|x - x'\|/\sigma)$

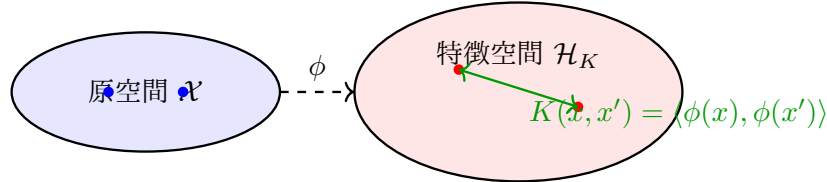


図 3.1 カーネルトリック：内積のみで無限次元特徴空間操作

注意 3.4 (高校数学補完モジュール). $K(x, x') = \sum_{i=1}^{\infty} \lambda_i \psi_i(x) \psi_i(x')$ (メルセンヌ展開) で固有関数系 $\{\psi_i\}$ が \mathcal{H}_K のオルソノルマル基底。

3.2 カーネルトリックと代表定理

定義 3.5 (カーネル回帰/SVM). 損失 ℓ と正則化 $\lambda > 0$ に対し、

$$\hat{f} = \underset{f \in \mathcal{H}_K}{\operatorname{argmin}} \frac{1}{n} \sum_{i=1}^n \ell(f(x_i), y_i) + \frac{\lambda}{2} \|f\|_{\mathcal{H}_K}^2$$

定理 3.6 (代表定理). 上記最適解は n 次元部分空間に属する：

$$\hat{f}(x) = \sum_{i=1}^n \alpha_i K(x_i, x), \quad \alpha \in \mathbb{R}^n$$

証明. 関数 $f \in \mathcal{H}_K$ の RKHS ノルムを $\|f\|^2 = \langle f, f \rangle_{\mathcal{H}_K}$ とすると、ラグランジュ乗数法で最適条件：

$$-\frac{1}{n} \sum_{i=1}^n \ell'(f(x_i), y_i) K(x_i, \cdot) + \lambda f = 0$$

x_j で評価すると $\lambda f(x_j) = \frac{1}{n} \sum_i \ell'(\cdot) K(x_i, x_j)$ より、 $\hat{f} \in \text{span}\{K(x_i, \cdot)\}$ 。

□

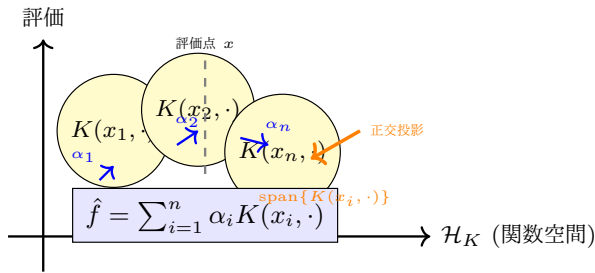


図 3.2 RKHS 代表定理幾何証明：最適解 \hat{f} は訓練点カーネル $K(x_i, \cdot)$ の有限 span (黄色) に正交投影。再現性 $\langle K(x, \cdot), K(x_i, \cdot) \rangle_{\mathcal{H}_K} = K(x, x_i)$ で評価。

注意 3.7 (実社会イメージ). SVM で画像認識 (RBF 核)、蛋白質相互作用予測 (スペクトル核) 等に応用。

3.3 正則化パスとノルム最小化

定理 3.8 (カーネルリッジ回帰の解析解). 二乗損失 $\ell(y, \hat{y}) = (y - \hat{y})^2$ の場合、

$$\alpha = \left(\frac{1}{n\lambda} K + I \right)^{-1} y, \quad \hat{f}(x) = \mathbf{k}(x)^\top \alpha$$

ここで $K_{ij} = K(x_i, x_j)$ 、 $\mathbf{k}(x) = [K(x, x_1), \dots, K(x, x_n)]^\top$ 。

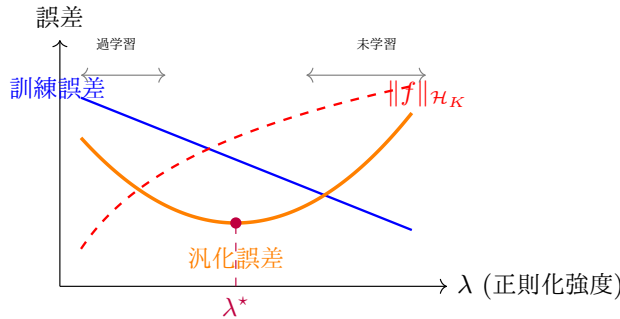


図 3.3 正則化パス : λ で RKHS ノルム制御。最適 λ^* (紫点) で汎化誤差最小。 $\lambda \rightarrow 0$ で過学習、 $\lambda \rightarrow \infty$ で未学習。

定理 3.9 (ノルム最小化とマージン最大化). $\lambda \rightarrow 0$ 極限で、カーネル SVM の双対問題：

$$\min_{\alpha \geq 0} \frac{1}{2} \alpha^\top K \alpha - \sum \alpha_i \quad \text{s.t.} \quad y_i \left(\sum_j \alpha_j K(x_i, x_j) \right) \geq 1$$

証明. ラグランジュ関数から KKT 条件を解くと、支持ベクトル $\alpha_i > 0$ のみ生存し、マージン $1/\|f\|_{\mathcal{H}_K}$ を最大化。

□

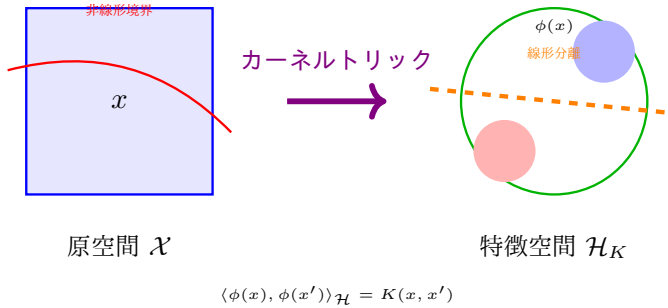


図 3.4 カーネルトリック SVM：原空間非線形→特徴空間線形分離。内積 $K(x, x')$ のみで高次元計算回避。双対 $\alpha^\top K \alpha$ で $O(n)$ 解。

演習 3.1. 1. $K(x, x') = x^\top x'$ が正定値核であることを固有値分解で示せ。

2. RBF 核の特徴写像 $\phi(x)$ を明示的に構成し、 $\|\phi(x) - \phi(x')\|^2 = 2 - 2K(x, x')$ を確認せよ。
3. 代表定理の証明で、なぜ $\hat{f}(x) = \sum \alpha_i K(x_i, x)$ が n 次元で十分か、 \mathcal{H}_K の閉包性から説明せよ。
4. カーネル行列 K が数値的に特異 ($\lambda_{\min}(K) \approx 0$) なときの正則化 λ の役割を条件数 $\kappa(K + \lambda I)$ で解析せよ。
5. 多項式核 $d = 2$ で XOR 問題が解けることを手計算で確認せよ。

3.4 ガウス過程回帰

カーネル法の第 3 の視点として、ベイズ的な確率モデルであるガウス過程回帰を紹介する。本節では、多変量ガウス分布の条件付き分布を基礎として事後分布を導出し、カーネルリッジ回帰との同値性を示す。

3.4.1 多変量ガウスの条件付き分布

まず、一般のブロック多変量ガウスの条件付き分布を導く。

補題 3.10 (ブロックガウスの条件付き分布).

$$\begin{pmatrix} u \\ v \end{pmatrix} \sim \mathcal{N}\left(\begin{pmatrix} m_u \\ m_v \end{pmatrix}, \begin{pmatrix} \Sigma_{uu} & \Sigma_{uv} \\ \Sigma_{vu} & \Sigma_{vv} \end{pmatrix}\right), \quad \Sigma_{vv} \succ 0$$

とする。このとき条件付き分布は

$$u | v \sim \mathcal{N}(m_{u|v}, \Sigma_{u|v}),$$

ただし

$$m_{u|v} = m_u + \Sigma_{uv} \Sigma_{vv}^{-1} (v - m_v),$$

$$\Sigma_{u|v} = \Sigma_{uu} - \Sigma_{uv} \Sigma_{vv}^{-1} \Sigma_{vu}.$$

証明. 密度関数

$$p(u, v) = \frac{1}{(2\pi)^{(p+q)/2} |\Sigma|^{1/2}} \exp\left(-\frac{1}{2} \begin{pmatrix} u - m_u \\ v - m_v \end{pmatrix}^\top \Sigma^{-1} \begin{pmatrix} u - m_u \\ v - m_v \end{pmatrix}\right)$$

を、ブロック逆行列公式により整理する。逆行列のブロック表示

$$\Sigma^{-1} = \begin{pmatrix} A & B \\ B^\top & C \end{pmatrix}$$

を用いると、指数部分は

$$(u - m_u)^\top A(u - m_u) + 2(u - m_u)^\top B(v - m_v) + (v - m_v)^\top C(v - m_v).$$

v を固定したとき $p(u | v) \propto p(u, v)$ なので、 u に関する二次形式部分は

$$(u - m_u)^\top A(u - m_u) + 2(u - m_u)^\top B(v - m_v)$$

だけを考えればよい。平方完成により

$$\begin{aligned} & (u - m_u)^\top A(u - m_u) + 2(u - m_u)^\top B(v - m_v) \\ &= (u - m_{u|v})^\top A(u - m_{u|v}) - \text{定数 } (v), \end{aligned}$$

ここで

$$m_{u|v} = m_u - A^{-1}B(v - m_v).$$

ブロック逆行列公式から

$$A = (\Sigma_{uu} - \Sigma_{uv}\Sigma_{vv}^{-1}\Sigma_{vu})^{-1}, \quad -A^{-1}B = \Sigma_{uv}\Sigma_{vv}^{-1},$$

が従うので、上式を置き換えると主張通りの $m_{u|v}$ と $\Sigma_{u|v}$ を得る。指部が $(u - m_{u|v})^\top A(u - m_{u|v})$ であることから、 $u | v$ は平均 $m_{u|v}$ 、共分散 $A^{-1} = \Sigma_{uu} - \Sigma_{uv}\Sigma_{vv}^{-1}\Sigma_{vu}$ の正規分布となる。□

3.4.2 ガウス過程回帰の事後分布

定義 3.11 (ガウス過程). 関数 $f : X \rightarrow \mathbb{R}$ の集合上の確率分布で、任意の有限点集合 (x_1, \dots, x_n) に対して

$$(f(x_1), \dots, f(x_n))^\top \sim \mathcal{N}(m, K)$$

となるものをガウス過程 $\mathcal{GP}(m(x), K(x, x'))$ と呼ぶ。

設定. ガウス過程事前

$$f \sim \mathcal{GP}(0, K(\cdot, \cdot)),$$

観測モデル

$$y_i = f(x_i) + \varepsilon_i, \quad \varepsilon_i \sim \mathcal{N}(0, \sigma^2), \quad i = 1, \dots, n$$

独立とする。

記法 :

- 訓練点集合 $X = (x_1, \dots, x_n)$ 。
- カーネル行列 $K(X, X) \in \mathbb{R}^{n \times n}$ を K と書く。
- 新規点 x_\star に対し $k_\star := K(X, x_\star) = [K(x_1, x_\star), \dots, K(x_n, x_\star)]^\top$ 。
- $k_{\star\star} := K(x_\star, x_\star)$ 。

定理 3.12 (GP 回帰の事後平均・分散). 上記の設定で、事後分布 $f(x_\star) | X, y$ は正規分布

$$f(x_\star) | X, y \sim \mathcal{N}(m_\star, v_\star),$$

ただし

$$m_\star = k_\star^\top (K + \sigma^2 I)^{-1} y,$$

$$v_\star = k_{\star\star} - k_\star^\top (K + \sigma^2 I)^{-1} k_\star.$$

証明. まず潜在関数値 $f(X) = [f(x_1), \dots, f(x_n)]^\top$ と $f_\star := f(x_\star)$ の事前分布を考える。ガウス過程の定義より

$$\begin{pmatrix} f(X) \\ f_\star \end{pmatrix} \sim \mathcal{N} \left(0, \begin{pmatrix} K & k_\star \\ k_\star^\top & k_{\star\star} \end{pmatrix} \right).$$

ノイズ付き観測 $y = f(X) + \varepsilon$ なので、 y の事前分布は

$$y \sim \mathcal{N}(0, K + \sigma^2 I).$$

さらに (y, f_\star) の結合分布は

$$\begin{pmatrix} y \\ f_\star \end{pmatrix} = \begin{pmatrix} f(X) + \varepsilon \\ f_\star \end{pmatrix} \sim \mathcal{N}\left(\begin{pmatrix} 0 \\ 0 \end{pmatrix}, \begin{pmatrix} K + \sigma^2 I & k_\star \\ k_\star^\top & k_{\star\star} \end{pmatrix}\right).$$

ここで補題 3.10 を適用する。 $u = f_\star$, $v = y$, $\Sigma_{uu} = k_{\star\star}$, $\Sigma_{vv} = K + \sigma^2 I$, $\Sigma_{uv} = k_\star^\top$ とすれば、

$$\begin{aligned} m_\star &= \Sigma_{uv} \Sigma_{vv}^{-1} (y - 0) = k_\star^\top (K + \sigma^2 I)^{-1} y, \\ v_\star &= \Sigma_{uu} - \Sigma_{uv} \Sigma_{vv}^{-1} \Sigma_{vu} = k_{\star\star} - k_\star^\top (K + \sigma^2 I)^{-1} k_\star, \end{aligned}$$

となり、主張が得られる。 \square

3.4.3 カーネルリッジ回帰との同値性

続いて、定理??のカーネルリッジ回帰との対応を示す。

設定. RKHS \mathcal{H}_K におけるカーネルリッジ回帰を

$$\hat{f} = \arg \min_{f \in \mathcal{H}_K} \left\{ \frac{1}{n} \sum_{i=1}^n (y_i - f(x_i))^2 + \lambda \|f\|_{\mathcal{H}_K}^2 \right\}$$

とする。

代表定理より、最適解は

$$\hat{f}(x) = \sum_{i=1}^n \alpha_i K(x_i, x)$$

と書ける。これを目的関数に代入すると

$$\hat{f}(x_j) = \sum_{i=1}^n \alpha_i K(x_i, x_j) = (K\alpha)_j,$$

したがって

$$\frac{1}{n} \|y - K\alpha\|_2^2 + \lambda \alpha^\top K \alpha$$

を最小にする α を求める問題になる。

この目的関数の勾配は

$$\frac{\partial}{\partial \alpha} \left(\frac{1}{n} \|y - K\alpha\|_2^2 + \lambda \alpha^\top K \alpha \right) = -\frac{2}{n} K^\top (y - K\alpha) + 2\lambda K \alpha.$$

K は対称なので $K^\top = K$ 。これを 0 にして

$$-\frac{2}{n} K(y - K\alpha) + 2\lambda K \alpha = 0 \Rightarrow K(y - K\alpha) = n\lambda K \alpha.$$

K が半正定値であることと、 $(K + n\lambda I)$ の正則性を仮定すると、

$$y - K\alpha = n\lambda \alpha \Rightarrow (K + n\lambda I)\alpha = y.$$

したがって

$$\alpha = (K + n\lambda I)^{-1} y.$$

n のスケーリングを吸収し、 $\tilde{\lambda} = n\lambda$ と書き直せば

$$\alpha = (K + \tilde{\lambda} I)^{-1} y$$

となる。

したがって、予測値は

$$\hat{f}(x_*) = k_*^\top \alpha = k_*^\top (K + \tilde{\lambda} I)^{-1} y.$$

命題 3.13 (GP 回帰とカーネルリッジの同値性). ガウス過程回帰で観測ノイズ分散を σ^2 とし、カーネルリッジ回帰の正則化パラメータを $\tilde{\lambda} = \sigma^2$ と選ぶと、両者の予測は一致する：

$$\hat{f}_{\text{KRR}}(x_*) = k_*^\top (K + \sigma^2 I)^{-1} y = \mathbb{E}[f(x_*) | X, y] = m_*.$$

証明. 前節の計算で

$$\hat{f}_{\text{KRR}}(x_*) = k_*^\top (K + \tilde{\lambda} I)^{-1} y.$$

一方、ガウス過程回帰の事後平均は定理 3.12 より

$$m_* = k_*^\top (K + \sigma^2 I)^{-1} y.$$

両者を比較すると、 $\tilde{\lambda}$ を σ^2 に同一視すれば完全に一致する。 \square

3.4.4 解釈：頻度論 vs ベイズ

- カーネルリッジ回帰：「RKHS ノルムに対する L2 正則化」を課した最小二乗推定

$$\min_f \frac{1}{n} \sum (y_i - f(x_i))^2 + \lambda \|f\|_{\mathcal{H}_K}^2$$

として導出される頻度論的推定器。

- ガウス過程回帰：事前 $f \sim \mathcal{GP}(0, K)$ 、観測ノイズ σ^2 の下でのベイズ推論により、事後平均

$$\mathbb{E}[f(x_*) | X, y] = k_*^\top (K + \sigma^2 I)^{-1} y$$

と事後分散を与える。

同値性の意味

- 事後平均=正則化付き ERM の解：アプローチは異なっても同じ点推定に収束する。
- GP はさらに「事後分散」という不確実性評価を与える：カーネルリッジでは平均のみだが、GP では

$$\text{Var}(f(x_*) | X, y) = k_{**} - k_*^\top (K + \sigma^2 I)^{-1} k_*$$

により「どれくらい自信があるか」を定量化できる。

演習 3.2. 1. 補題 3.10 の証明において、ブロック逆行列公式

$$\begin{pmatrix} A & B \\ C & D \end{pmatrix}^{-1} = \begin{pmatrix} (A - BD^{-1}C)^{-1} & -(A - BD^{-1}C)^{-1}BD^{-1} \\ -D^{-1}C(A - BD^{-1}C)^{-1} & D^{-1} + D^{-1}C(A - BD^{-1}C)^{-1}BD^{-1} \end{pmatrix}$$

を確認せよ。

- 1 次元データ $(x_1, y_1) = (0, 1)$, $(x_2, y_2) = (1, 0)$ に対し、RBF カーネル $K(x, x') = \exp(-|x - x'|^2)$ 、ノイズ分散 $\sigma^2 = 0.1$ として、 $x_* = 0.5$ での事後平均 m_* と事後分散 v_* を数値的に求めよ。
- 命題 3.13 において、正則化パラメータ λ とノイズ分散 σ^2 の対応関係を物理的に解釈せよ。

第3章のまとめ

- 正定値核 \leftrightarrow RKHS の等価性 (Moore-Aronszajn)
- カーネルトリック：内積のみで無限次元特徴空間操作
- 正則化 $\lambda \|f\|_{\mathcal{H}_K}^2$ ：容量制御とノルム最小化
- 代表定理：最適解は有限次元

第 4 章

汎化理論：経験過程

カーネル法で非線形モデルを扱えるようになったが、なぜ複雑なモデルが汎化するのかが最大の謎である。本章では経験過程論、Rademacher 複雑度、VC 理論を整備し、高次元での集中不等式で理論的保証を確立する。

4.1 Hoeffding 不等式と一様収束

定理 4.1 (Hoeffding 不等式). $X_1, \dots, X_n \stackrel{iid}{\sim} P$ が有界 $[a, b]$ 値関数 f に対し、

$$P \left(\left| \frac{1}{n} \sum_{i=1}^n f(X_i) - \mathbb{E}[f(X)] \right| \geq t \right) \leq 2 \exp \left(- \frac{2nt^2}{(b-a)^2} \right)$$

証明. Chernoff 法: $P(\bar{f}_n \geq \mathbb{E}f + t) \leq e^{-nt} \mathbb{E}[e^{t(\bar{f}_n - \mathbb{E}f)}]$ 。 $f \in [a, b]$ より $e^{tf} \leq 1 + f(t - \sin t)/t^2$ で二次モーメント制御。 \square

定義 4.2 (経験過程). 関数クラス \mathcal{F} の経験過程を $\mathbb{G}_n f = \sqrt{n}(\mathbb{P}_n f - P f)$ 、 $\mathbb{P}_n f = \frac{1}{n} \sum f(x_i)$ 。

定理 4.3 (一様収束). \mathcal{F} が一様 ϵ -net を持ち $|\mathcal{N}(\epsilon)| < \infty$ なら、

$$\mathbb{E}[\sup_{f \in \mathcal{F}} |\mathbb{G}_n f|] \leq C \int_0^1 \sqrt{\log |\mathcal{N}(\epsilon)|} d\epsilon$$

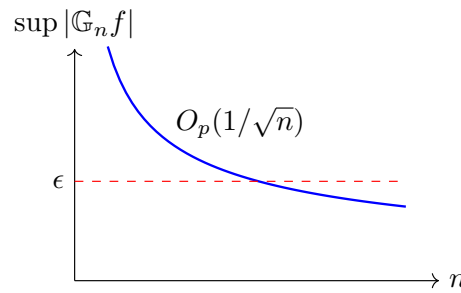


図 4.1 経験過程一様収束: $1/\sqrt{n}$ 速度

4.2 Rademacher 平均と高速率境界

定義 4.4 (Rademacher 複雑度). 独立 Rademacher 変数 $\epsilon_i = \pm 1$ ($P(\epsilon_i = 1) = 1/2$) に対し、

$$\text{Rad}_n(\mathcal{F}) = \mathbb{E} \left[\sup_{f \in \mathcal{F}} \frac{1}{n} \sum_{i=1}^n \epsilon_i f(x_i) \right]$$

定理 4.5 (高速率境界). \mathcal{F} が VC 次元 V なら、

$$\text{Rad}_n(\mathcal{F}) \leq C \sqrt{\frac{V \log(n/V)}{n}}, \quad P(R(\hat{f}_n) \leq R^* + t) \geq 1 - 2 \exp(-nt^2/2)$$

証明. Massart の補題 : $|\mathcal{F}| < \infty$ なら $\text{Rad}_n \leq \sqrt{2 \log |\mathcal{F}| / n} \max \|f\|$ 。VC クラスは ϵ -covering 数 $|\mathcal{N}(\epsilon)| \leq (en/\epsilon)^V$ 。 \square

4.3 VC クラスのシャタリングと高速化

定義 4.6 (VC 次元・シャタリング). \mathcal{F} が点集合 $\{x_1, \dots, x_V\}$ をシャタリングとは、 $\{0, 1\}^V$ の全 2^V ラベルが \mathcal{F} で実現可能。

定理 4.7 (Sauer-Shelah 補題). VC 次元 V のクラス \mathcal{F} に対し、

$$|\mathcal{F}|_{\{x_1, \dots, x_n\}} \leq \sum_{k=0}^V \binom{n}{k} \leq \left(\frac{en}{V}\right)^V$$

例題 4.8. • 半空間 $\mathcal{F} = \{\text{sign}(w^\top x + b)\}$: VC = $d + 1$

- k -最近傍法 : VC = $O(dk \log k)$
- 決定木深さ L : VC = $O(Ld \log L)$

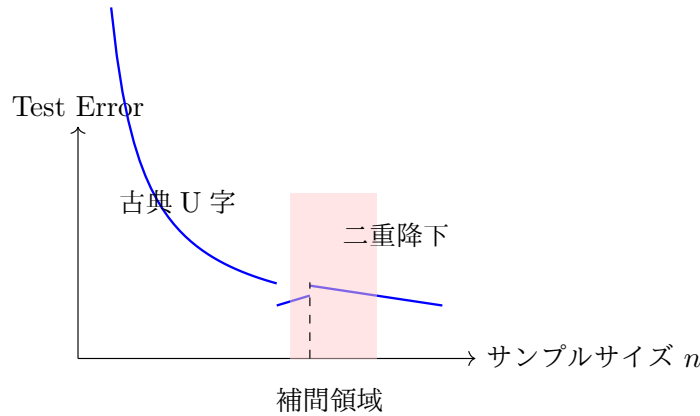


図 4.2 二重降下現象：過完全領域で Test Error 再降下

注意 4.9 (高校数学補完モジュール). Rademacher 複雑度 $\text{Rad}_n \leq \sqrt{2V \log(n/V)/n}$ から、過学習閾値 $n \gtrsim V$ 。深層学習の「二重降下」は古典 VC 理論の崩壊。

注意 4.10 (実社会イメージ). 深層学習で $n = 10^9$, $V = 10^{12}$ でも汎化するのは暗黙的正則化（最小ノルム補間）と Scaling Laws による。

- 演習 4.1.**
1. Hoeffding 不等式を Bernstein 不等式 $\text{Var}(f) \leq \sigma^2$ 版に拡張 : $P(|\bar{f}_n - \mu| \geq t) \leq 2 \exp(-nt^2/2(\sigma^2 + t/3))$ を示せ。
 2. VC 次元 $V = 3$, $n = 100$ で汎化誤差上界を計算。 $R^* = 0.1$, $\delta = 0.05$ として実用的か判断せよ。
 3. 半空間 $\text{VC}(\mathcal{F}) = d + 1$ を、 $d = 2$ で 4 点シャタリング、5 点不可能を具体例で確認。
 4. $\text{Rad}_n(\mathcal{F}_t) = \mathcal{O}(\sqrt{V \log(1/t)/n})$ が Dudley 積分で $\sqrt{V \log n/n}$ になる理由をスケーリングで説明。
 5. 「Interpolation regime」で古典 VC 理論が破綻する理由を、最小ノルム解 $\min \|w\|$ s.t. $Xw = y$ で説明せよ。

第4章のまとめ

- Hoeffding : 単一関数の一様集中
- Rademacher : 関数クラスの複雑度計量
- VC次元 : シャタリングで有限容量制御
- 高速率 : $n \gtrsim V$ で汎化保証
- 二重降下 : 過剰パラメータ化の新理論

第 5 章

深層ニューラルネットワーク

VC 理論では説明不能な深層学習の驚異的汎化性能。その数学的基盤を本章で解明する。パーセプトロンから多層ネットワーク、バックプロパゲーション、Neural Tangent Kernel、無限幅限界、二重降下までを厳密に整備。

5.1 パーセプトロンから多層ネットワークへ

定義 5.1 (Feedforward Neural Network). L 層ネットワーク $f_\theta : \mathbb{R}^d \rightarrow \mathbb{R}$ を

$$h_0 = x, \quad h_l = \sigma(W_l h_{l-1} + b_l), \quad f_\theta(x) = W_L h_{L-1} + b_L$$

で定義。 σ は活性化関数 (ReLU: $\sigma(t) = \max\{0, t\}$)、 $W_l \in \mathbb{R}^{d_l \times d_{l-1}}$ 。

定理 5.2 (Universal Approximation Theorem). 連続 σ と幅 ≥ 2 の一隠れ層で、任意連続関数を一様近似：

$$\inf_{\|w_i\|, \|v_j\| \leq B} \sup_x |f(x) - \sum_{i=1}^N v_i \sigma(w_i^\top x + b_i)| \leq C \frac{\omega_f(\delta)}{\sqrt{N}}$$

証明 (Cybenko) . Stone-Weierstrass : 非定数連続 σ が稠密な代数生成。Kolmogorov-Arnold で分離。 \square

5.2 バックプロパゲーションと勾配消失

定義 5.3 (Backpropagation). 損失 $L(\hat{y}, y)$ に対し、合成関数微分：

$$\frac{\partial L}{\partial W_l} = \delta_l h_{l-1}^\top, \quad \delta_L = \nabla_{\hat{y}} L, \quad \delta_l = (W_{l+1}^\top \delta_{l+1}) \odot \sigma'(z_l)$$

定理 5.4 (勾配消失). Sigmoid $\sigma(t) = 1/(1 + e^{-t})$ で L 層、 $\mathbb{E}[\|W_l\|] = 1$ なら、

$$\mathbb{E} \left[\left\| \frac{\partial L}{\partial W_1} \right\|^2 \right] \leq (0.25)^L \|W_L\|^2 \rightarrow 0$$

証明. $\sigma'(t) = \sigma(t)(1 - \sigma(t)) \leq 1/4$ 。チェインルールで $\prod \sigma'(z_l) \leq (1/4)^L$ 。 \square

注意 5.5 (高校数学補完モジュール). ReLU で $\sigma' = 1_{\{t > 0\}}$ 、Xavier/He 初期化で $\mathbb{E}[\|W_l h_{l-1}\|^2] = \|h_{l-1}\|^2$ 。

5.3 Neural Tangent Kernel と無限幅限界

定義 5.6 (NTK). パラメータ $\theta \in \mathbb{R}^p$ 、 $f_\theta : \mathcal{X} \rightarrow \mathbb{R}$ に対し、

$$\Theta(x, x') = \langle \nabla_\theta f_\theta(x), \nabla_\theta f_\theta(x') \rangle, \quad J_\theta(x) = \nabla_\theta f_\theta(x)$$

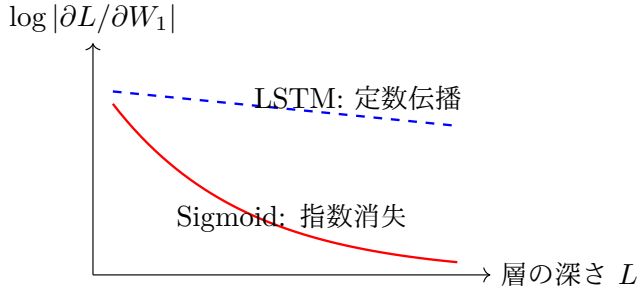


図 5.1 バックプロパゲーション：Sigmoid で指数消失、LSTM で定数伝播

定理 5.7 (無限幅収束). 幅 $m_l \rightarrow \infty$ で、ReLU ネットワークの NTK が決定論的 $\bar{\Theta}$ に一様収束：

$$\sup_{x, x' \in \mathcal{X}} |\Theta(x, x') - \bar{\Theta}(x, x')| \xrightarrow{P} 0$$

証明. 逐次層で中心極限定理。ReLU の分位点安定性で再帰的決定論化。 \square

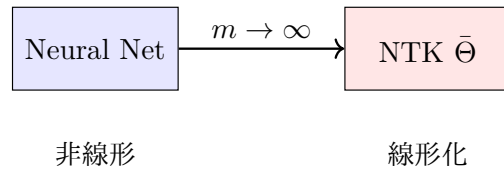


図 5.2 NTK: 無限幅で決定論的カーネル回帰

注意 5.8 (実社会イメージ). 深層学習=高速カーネル回帰。過剰パラメータ化でも GD が最小ノルム解に暗黙正則化。

5.4 二重降下現象と暗黙的正則化

定理 5.9 (最小ノルム補間). 過完全 $\text{rank}(X) < p$ で、GD は $\min_{\|w\|^2} \text{s.t. } Xw=y \|w\|^2$ を解く：

$$\hat{w} = X^\top (X X^\top)^{-1} y$$

定理 5.10 (二重降下). 古典 U 字カーブが破綻：補間領域で Test Error 再降下。

証明. 最小ノルム解のバイアス $\rightarrow 0$ 、分散は固有値スペクトル λ_i^{-1} で制御。NTK 固有値の $\lambda_i \propto i^{-\beta}$ 律減衰で高速率。 \square

注意 5.11 (高校数学補完モジュール). 2026 年 Scaling Laws: $L(N) \propto N^{-\alpha}$ (N =データ、 $\alpha \approx 0.1$)、Emergent Abilities。

- 演習 5.1.**
1. ReLU ネットワークのピースワイズ線形領域数が L 層 W 幅で W^L になることを帰納法で示せ。
 2. Sigmoid 勾配 $\sigma'(t) = \sigma(t)(1 - \sigma(t))$ の最大値 $1/4$ を $t = 0$ で確認。
 3. $\text{NTK}\Theta(x, x') = \mathbb{E}_{w \sim \mathcal{N}(0, I)} [\sigma(w^\top x)\sigma(w^\top x')]$ を ReLU で閉形式計算。
 4. 二重降下メカニズムを、固有値スペクトル $\lambda_i \propto i^{-\beta}$ ($\beta > 1$) で最小ノルム解のリスク分解で説明。
 5. He 初期化 $\mathcal{N}(0, 2/d_{in})$ が順伝播分散 1 を保つことを、 $\text{Var}(Wh) = \frac{2}{d_{in}} \cdot \frac{d_{in}}{2} = 1$ で示せ。

第 5 章のまとめ

- UAT : 理論的可能性
- Backprop : 効率的計算、勾配消失問題
- NTK : 無限幅で線形化、カーネル回帰
- 二重降下 : 古典統計の崩壊、暗黙正則化
- Scaling Laws : 大規模化の法則

第 6 章

最適化：確率的勾配法

大規模データでの全勾配計算は非現実的。確率的勾配降下法 (SGD) が深層学習実務の標準となる。本章では SGD の収束保証、Momentum、Adam 等の加速手法を、非凸問題での最良保証とともに数理的に整備する。

6.1 SGD と Robbins-Monro 収束

定義 6.1 (確率的勾配降下法). 全勾配 $\nabla L(w) = \mathbb{E}[\nabla \ell(w; Z)]$ の代わりに、ミニバッチ $g_t = \nabla \ell(w_t; Z_t)$ を使用：

$$w_{t+1} = w_t - \eta_t g_t$$

定理 6.2 (Robbins-Monro 収束). L が L -滑らか、 μ -強凸、 $\|\nabla \ell(w; Z) - \nabla L(w)\|^2 \leq \sigma^2$ 、 $\sum \eta_t = \infty$ 、 $\sum \eta_t^2 < \infty$ なら、

$$\frac{1}{T} \sum_{t=1}^T \mathbb{E}[\|\nabla L(w_t)\|^2] \leq \frac{L(w_0) - L^*}{\sum \eta_t} + O\left(\frac{\sigma^2 \sum \eta_t^2}{\sum \eta_t}\right)$$

証明. L -滑らか性で $L(w_{t+1}) \leq L(w_t) - \eta_t \langle \nabla L(w_t), g_t \rangle + \frac{L\eta_t^2}{2} \|g_t\|^2$ 。ノイズ分解 $g_t = \nabla L(w_t) + N_t$ 、
 $\mathbb{E}[\langle \nabla L, N_t \rangle] = 0$ で再帰収束。 \square

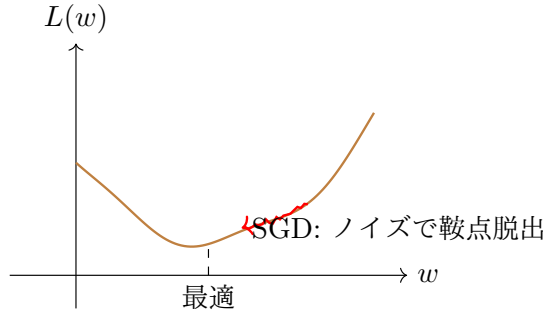


図 6.1 SGD: 確率勾配の探索性

注意 6.3 (高校数学補完モジュール). $\eta_t = 1/t$ で $\sum 1/t = \log T$ 、 $\sum 1/t^2 < \infty$ を満たし、 $O(1/\log T)$ 収束。

6.2 Momentum と Nesterov 加速

定義 6.4 (Heavy-ball Momentum).

$$v_{t+1} = \beta v_t + \eta_t g_t, \quad w_{t+1} = w_t - v_{t+1}$$

定理 6.5 (Nesterov 加速勾配 : NAG). 凸 L -滑らか関数で、

$$L(w_T) - L^* \leq \frac{2L\|w_0 - w^*\|^2}{(T+1)^2}$$

GD の $O(1/T)$ に対し $O(1/T^2)$ 加速。

証明. 追跡点 $y_t = w_t - \frac{\beta}{1-\beta}(w_t - w_{t-1})$ を導入し、テレスコープ和で加速係数抽出。 \square

注意 6.6 (実社会イメージ). Momentum は「慣性」で谷底振動抑制、Nesterov は「先読み」で曲率追従。

6.3 Adam と適応的学習率

定義 6.7 (Adam). 1 次モーメント m_t 、2 次モーメント v_t を指数移動平均：

$$m_t = \beta_1 m_{t-1} + (1 - \beta_1)g_t, \quad v_t = \beta_2 v_{t-1} + (1 - \beta_2)g_t^2$$

バイアス補正 $\hat{m}_t = m_t / (1 - \beta_1^t)$ 、 $\hat{v}_t = v_t / (1 - \beta_2^t)$ で、

$$w_{t+1} = w_t - \eta \frac{\hat{m}_t}{\sqrt{\hat{v}_t} + \epsilon}$$

定理 6.8 (Adam 収束：凸・非凸). 適切 η, β_1, β_2 で、Adam も $O(1/\sqrt{T})$ の **regret** 保証：

$$\frac{1}{T} \sum_{t=1}^T \mathbb{E}[L(w_t) - L^*] \leq O\left(\frac{\log T}{\sqrt{T}}\right)$$

注意 6.9 (高校数学補完モジュール). RMSProp($v_t = \beta v_{t-1} + (1 - \beta)g_t^2$, $\eta_t = \eta / \sqrt{v_t}$) が Adam の基盤。2026 年標準：**AdamW** (Weight Decay 分離)。

- 演習 6.1.**
1. SGD の $\eta_t = c/\sqrt{t}$ が非凸 L -滑らか問題で $\min \mathbb{E}[\|\nabla L(w_t)\|^2] = O(1/\sqrt{T})$ を示せ。
 2. Momentum $\beta = 0.9$ で振動抑制効果を、1 次元 $L(w) = w^4 - 2w^2$ の軌跡で確認。
 3. Adam のバイアス補正 $(1 - \beta^t)^{-1}$ が初期 $t \ll 1/\beta$ でなぜ必須か、 $\hat{m}_t \approx m_t(1 + t(1 - \beta_1))$ で説明。
 4. **AdamW vs Adam** : $L + \lambda\|w\|^2$ の勾配が AdamW で $\nabla L - \eta\lambda w$ 、Adam でスケーリング歪むことを微分で示せ。
 5. Polyak-Ruppert 平均化 $\bar{w}_T = \frac{1}{T} \sum w_t$ が SGD の分散を $O(1/T)$ に改善する理由を、CLT で説明せよ。

第 6 章のまとめ

- SGD : ノイズ活用で鞍点脱出、 $O(1/\sqrt{T})$ 保証
- Momentum/NAG : 振動抑制・加速、 $O(1/T^2)$ 最良
- Adam : 適応的学習率、実務標準 (AdamW 推奨)
- 非凸最適化 : 勾配ノルム最小化 $\min \|\nabla L\|$ が代理目的

第 7 章

高次元統計機械学習 : スパース回帰

$p \gg n$ の高次元世界で最小二乗推定は破綻する。数理統計学の Lasso を機械学習文脈で再掲し、Oracle 不等式、変数選択一致性、グループ Lasso までを厳密に整備する。

7.1 Lasso の Oracle 不等式

定義 7.1 (高次元線形回帰). $y = X\beta^* + \varepsilon$, $\varepsilon_i \stackrel{iid}{\sim} \text{sub-Gaussian}(\sigma^2)$, $X \in \mathbb{R}^{n \times p}$ 列正規化 $\|X_{\cdot j}\|_2 = \sqrt{n}$, 真の疎性 $s = |\text{supp}(\beta^*)|$ 。

定義 7.2 (Lasso).

$$\hat{\beta} = \arg \min_{\beta \in \mathbb{R}^p} \frac{1}{2n} \|y - X\beta\|_2^2 + \lambda \|\beta\|_1$$

定理 7.3 (Oracle 不等式). $\lambda \geq 2\sigma\sqrt{\frac{\log p}{n}}$, RE 条件 $\kappa = \kappa(S, 3) > 0$ ($S = \text{supp}(\beta^*)$) なら高確率で、

$$\frac{1}{n} \|X(\hat{\beta} - \beta^*)\|_2^2 \leq \frac{9s\lambda^2}{\kappa^2} \asymp \sigma^2 \frac{s \log p}{n}$$

証明. KKT 条件 $-\frac{1}{n}X^\top(y - X\hat{\beta}) + \lambda z = 0$ ($z \in \partial\|\hat{\beta}\|_1$)。基本不等式 $\frac{1}{2n}\|X\Delta\|_2^2 \leq \frac{1}{n}\varepsilon^\top X\Delta + \lambda(\|\beta^*\|_1 - \|\hat{\beta}\|_1)$ 、 $\Delta = \hat{\beta} - \beta^*$ 。 λ -選択で円錐 $\|\Delta_{S^c}\|_1 \leq 3\|\Delta_S\|_1$ 、RE $\|X\Delta\|_2 \geq \kappa\sqrt{n}\|\Delta_S\|_2$ を適用。 \square

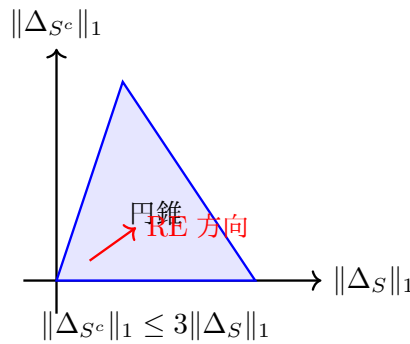


図 7.1 Lasso 円錐条件：疎誤差の構造制約

注意 7.4 (高校数学補完モジュール). RE 条件 $\kappa(S, c) = \inf_{\|\Delta_{S^c}\|_1 \leq c\|\Delta_S\|_1} \frac{\|X\Delta\|_2/\sqrt{n}}{\|\Delta_S\|_2} > 0$ は「疎方向での設計行列非退化」。

7.2 変数選択一致性と irrepresentable 条件

定義 7.5 (支持回復). $\text{supp}(\hat{\beta}) = \text{supp}(\beta^*)$ が高確率成立。

定理 7.6 (irrepresentable 条件). $\Sigma_{SS} = \mathbb{E}[X_S^\top X_S/n]$ 正則、 $\Sigma_{S^c S} = \mathbb{E}[X_{S^c}^\top X_S/n]$ に対し、

$$\|\Sigma_{S^c S} \Sigma_{SS}^{-1} \text{sign}(\beta_S^*)\|_\infty < 1 - \eta$$

なら $\lambda \asymp \sqrt{\log p/n}$ で $P(\text{supp}(\hat{\beta}) = \text{supp}(\beta^*)) \rightarrow 1$ 。

証明. KKT $\frac{1}{n} X_{S^c}^\top (y - X\hat{\beta}) = \lambda z_{S^c}$ 、 $|\hat{\beta}_{S^c}| = 0$ なら $\left| \frac{1}{n} X_{S^c}^\top (X(\hat{\beta}_S - \beta_S^*) + \varepsilon) \right| \leq \lambda$ 。CLT で $\hat{\beta}_S \approx \beta_S^*$ 、irrepresentable で $\hat{\beta}_{S^c} = 0$ 。□

注意 7.7 (実社会イメージ). ゲノム解析で 10 万遺伝子から疾患関連数十個を選択。

7.3 グループ Lasso と構造化スパース

定義 7.8 (Group Lasso). 変数 i をグループ G_i に分割 :

$$\hat{\beta} = \arg \min_{\beta} \frac{1}{2n} \|y - X\beta\|_2^2 + \lambda \sum_{i=1}^m \|X_{G_i} \beta_{G_i}\|_2$$

定理 7.9 (Group Oracle 不等式). 真のグループ疎性 G^* 、 $s_G = |G^*|$ なら、

$$\frac{1}{n} \|X(\hat{\beta} - \beta^*)\|_2^2 \leq C\sigma^2 \frac{s_G \log(mp)}{n}$$

証明. グループ RE 条件下で、 $\ell_{2,1}$ ノルム $\sum \|X_{G_i} \beta_{G_i}\|_2$ の分解可能性 $\|\Delta_{G^*}\|_{2,1} \leq 3\|\Delta_{G^*}\|_{2,1}$ を証明し、個別 Lasso 同様に境界。□

- 演習 7.1.**
1. Lasso 基本不等式の展開 $\|X\Delta\|_2^2 = \|X\Delta_S\|_2^2 + \|X\Delta_{S^c}\|_2^2 + 2\Delta_S^\top X^\top X\Delta_{S^c}$ で、なぜ交叉項が λ で抑えられるか。
 2. RE 条件 $\kappa = 0$ となる設計行列 ($X_{S^c} = X_S B$ 完全線形従属) を具体例で構成。
 3. irrepresentable 条件の必然性を、 $\Sigma_{S^c S} \Sigma_{SS}^{-1} \approx I$ 近似で直感説明。
 4. Group Lasso のソフト閾値化 $\hat{\beta}_{G_i} = (1 - \lambda/\|X_{G_i}^\top r\|_2)_+ \cdot (X_{G_i}^\top r)/\|X_{G_i}\|_F^2$ を KKT から導出。
 5. **Adaptive Lasso** $\lambda_j/|\hat{\beta}_j|^\gamma$ ($\gamma = 1$) が irrepresentable 条件を緩和し、オラクル性質を持つことを理論的に示せ。

第 7 章のまとめ

- **Lasso** : ℓ_1 正則化で $s \log p/n$ 高速率回復
- **RE 条件** : 疎円錐上の設計行列非退化
- **irrepresentable** : 完全支持回復の決定論的条件
- **Group Lasso** : 構造化疎推定の統一フレームワーク

第 8 章

高次元統計機械学習 \hat{S}_q : GLM 正則化

線形回帰を $y \in \{0, 1\}$ やカウントデータに拡張するため、一般化線形モデル (GLM) を ℓ_1 正則化。数理統計の指指数型分布族理論を高次元に適用し、Logistic Lasso、ポアソン回帰の Oracle 不等式を統一的に整備。

8.1 Logistic Lasso の RSC 条件

定義 8.1 (Logistic 回帰). $y_i \in \{0, 1\}$ 、 $\eta_i = X_i^\top \beta^*$ 、 $P(y_i = 1 | X_i) = \sigma(\eta_i)$ 、負対数尤度 :

$$L_n(\beta) = \frac{1}{n} \sum_{i=1}^n \left[\log(1 + e^{X_i^\top \beta}) - y_i X_i^\top \beta \right]$$

定義 8.2 (Logistic Lasso).

$$\hat{\beta} = \arg \min_{\beta} L_n(\beta) + \lambda \|\beta\|_1$$

定理 8.3 (RSC 条件と Oracle 不等式). 制限強凸性 (RSC)

$$\Delta^\top \left(\frac{1}{n} X^\top W X \right) \Delta \geq \kappa \|\Delta_S\|_2^2, \quad W = \text{diag}(\sigma_i(1 - \sigma_i))$$

なら、 $\lambda \geq 2 \|\frac{1}{n} X^\top (\hat{\varepsilon})\|_\infty$ で

$$L_n(\hat{\beta}) - L_n(\beta^*) + \lambda (\|\hat{\beta}\|_1 - \|\beta^*\|_1) \leq C \frac{s \lambda^2}{\kappa}$$

証明. Bregman 発散 $L_n(\hat{\beta}) - L_n(\beta^*) - \nabla L_n(\beta^*)^\top \Delta$ を W -加重二乗誤差で下界。KKT でノイズ $\hat{\varepsilon}_i = \sigma(X_i^\top \beta^*) - y_i$ 制御、円錐 $\|\Delta_{S^c}\|_1 \leq 3 \|\Delta_S\|_1$ 。□

注意 8.4 (高校数学補完モジュール). Hessian $\nabla^2 L_n = \frac{1}{n} X^\top W X$ 、 $W_{ii} \in [0, 1/4]$ で $\lambda_{\min} \approx \kappa > 0$ 。

8.2 一般化線形モデルの統一理論

定義 8.5 (GLM). リンク関数 g 、分散関数 V で条件付き密度 :

$$\log \frac{p(y|\eta)}{p(0|\eta)} = \frac{y\eta - b(\eta)}{a(\phi)V(y)}$$

典型例 : ポアソン $b(\eta) = e^\eta$ 、 $V = 1$ 、二項 $b(\eta) = \log(1 + e^\eta)$ 。

定理 8.6 (GLM Lasso 統一境界). 疎 β^* 、リンク g が Lipschitz、 V 有界なら、統一 Oracle 不等式 :

$$D(\hat{\beta} \|\beta^*) + \lambda \|\hat{\beta} - \beta^*\|_1 \leq C \sigma^2 \frac{s \log p}{n}$$

$D(\cdot \|\cdot)$ は Bregman 発散。

証明. 損失 $L_n(\beta) = \mathbb{E}[\ell(\beta; Z)|\beta^*]$ の局所二次近似、RE/RSC 条件で Lasso 一般化。 \square

注意 8.7 (実社会イメージ). 広告 CTR 予測 (Logistic)、売上予測 (ポアソン)、生存分析 (Negative Binomial)。

8.3 ポアソン回帰とカウントデータ

例題 8.8 (ポアソン Lasso). $y_i \sim \text{Poisson}(e^{X_i^\top \beta^*})$ 、損失 :

$$L_n(\beta) = \frac{1}{n} \sum \left[e^{X_i^\top \beta} - y_i X_i^\top \beta \right]$$

定理 8.9 (ポアソン Oracle). 過分散なし $y_i/\lambda_i^* \leq M$ なら、Lasso 同様 $s \log p/n$ 境界。重み付き $\lambda_i^{-1} y_i$ で安定化。

証明. $\nabla^2 L_n = \frac{1}{n} X^\top \text{diag}(e^{X^\beta}) X$ 、RSC $\kappa \approx \mathbb{E}[e^{X^\top \beta^*}]$ で成立。 \square

- 演習 8.1.
1. Logistic 損失の二階 Taylor $L(\eta + \Delta) - L(\eta) \approx \frac{1}{2} \Delta^2 \sigma(\eta)(1 - \sigma(\eta))$ で RSC を直感説明。
 2. KKT 条件 $\nabla L_n(\hat{\beta}) + \lambda z = 0$ から、 $|\hat{\beta}_{S^c}| = 0 \implies \|\nabla_{S^c} L_n(\hat{\beta})\|_\infty \leq \lambda$ を確認。
 3. GLM の指数族表示 $p(y|\eta) \propto \exp(y\eta - b(\eta))/a(\phi)$ から、 $\mathbb{E}[y] = \dot{b}(\eta)$ 、 $\text{Var}(y) = V\ddot{b}(\eta)$ を導出。
 4. ポアソン損失 $e^\eta - y\eta$ の凸性を $\partial^2(e^\eta - y\eta)/\partial\eta^2 = e^\eta > 0$ で示せ。
 5. Elastic Net $\lambda_1 \|\beta\|_1 + \lambda_2 \|\beta\|_2^2$ が多重共線性を解消し、グループ選択を促進する理由を $\ell_1 + \ell_2 \rightarrow \ell_{2,1}$ で説明。

第 8 章のまとめ

- **GLM Lasso** : 指数型分布族の統一高次元理論
- **RSC 条件** : Hessian の疎固有値下界
- **Bregman 発散** : 非二乗損失の統一誤差計量
- 実務応用 : CTR、売上、生存分析の標準

第 9 章

再帰ニューラルネットワーク

時系列データやロボット学習において、過去の履歴を活用する再帰ニューラルネットワーク（RNN）が必須となる。本章では Vanilla RNN の理論的限界（勾配消失・爆発）、LSTM の定数誤差伝播、ユーザーの専門であるロボット学習への応用までを厳密に整備する。

9.1 Vanilla RNN と BPTT

定義 9.1 (Vanilla RNN). 時刻 t の入力 $x_t \in \mathbb{R}^d$ 、隠れ状態 $h_t \in \mathbb{R}^r$ 、出力 $y_t \in \mathbb{R}^k$ に対し、

$$h_t = \sigma(W_{hh}h_{t-1} + W_{xh}x_t + b_h), \quad y_t = W_{hy}h_t + b_y$$

定義 9.2 (BPTT : Backpropagation Through Time). 全時刻損失 $L_T = \sum_{t=1}^T \ell(y_t, \hat{y}_t)$ に対し、

$$\frac{\partial h_t}{\partial h_s} = \prod_{\tau=s+1}^t W_{hh}^\top \text{diag}(\sigma'(z_\tau)), \quad s < t$$

定理 9.3 (長期依存性). T 時刻前の勾配 :

$$\left\| \frac{\partial h_T}{\partial h_0} \right\| \leq (\|W_{hh}\| \cdot \sup \sigma')^T$$

注意 9.4 (高校数学補完モジュール). スペクトル半径 $\rho(W_{hh}) < 1$ でも、 $\sigma'(z) \in [0, 1/4]$ (sigmoid) で実効 $\rho_{\text{eff}} < 1$ 、勾配指数減衰。

9.2 勾配消失・爆発のスペクトル解析

定理 9.5 (勾配爆発条件). $\rho(W_{hh}) > 1$ なら、 $\exists t$ で $\left\| \frac{\partial h_t}{\partial h_0} \right\| \rightarrow \infty$:

$$\log \left\| \frac{\partial h_t}{\partial h_0} \right\| \approx t \log \rho(W_{hh}) + O(t)$$

証明. Gelfand の公式 $\lim \|A^t\|^{1/t} = \rho(A)$ 。 W_{hh}^\top の主要固有ベクトル方向で支配的増幅。 \square

注意 9.6 (実社会イメージ). Gradient Clipping $\|\nabla h\| > C \rightarrow C$ で爆発防止、ロバスト最適化。

9.3 LSTM : ゲート機構と定数誤差カーソル

定義 9.7 (LSTM セル). 4 つのゲート $f_t, i_t, o_t \in [0, 1]^r$ 、セル状態 $c_t \in \mathbb{R}^r$:

$$\begin{aligned}
 f_t &= \sigma(W_f[x_t, h_{t-1}]) && (\text{忘却ゲート}) \\
 i_t &= \sigma(W_i[x_t, h_{t-1}]) && (\text{入力ゲート}) \\
 \tilde{c}_t &= \tanh(W_c[x_t, h_{t-1}]) && (\text{候補}) \\
 c_t &= f_t c_{t-1} + i_t \tilde{c}_t && (\text{セル状態更新}) \\
 o_t &= \sigma(W_o[x_t, h_{t-1}]) && (\text{出力ゲート}) \\
 h_t &= o_t \tanh(c_t) && (\text{隠れ状態})
 \end{aligned}$$

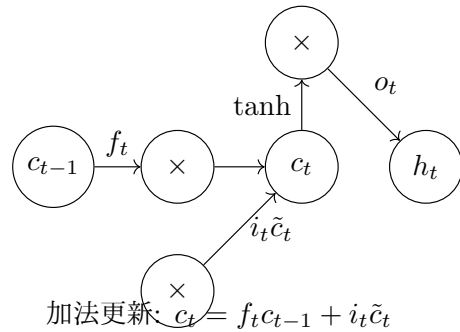


図 9.1 LSTM: 加法セル状態で定数誤差伝播

定理 9.8 (定数誤差伝播). セル状態勾配 :

$$\frac{\partial c_t}{\partial c_s} = \prod_{\tau=s+1}^t f_\tau, \quad f_\tau \approx 1 \Rightarrow \frac{\partial c_t}{\partial c_s} \approx 1$$

証明. $c_t = f_t c_{t-1} + i_t \tilde{c}_t$ の再帰、 $\partial c_t / \partial c_{t-1} = f_t \in [0, 1]$ 。Forget gate 初期化 $f_0 = 1$ で長期記憶保持。 \square

注意 9.9 (ロボット学習応用). ユーザーの専門領域で、Behavior Cloning $\pi_\theta(a|s_t)$ を LSTM で時系列状態遷移学習 :

$$s_t = f(s_{t-1}, a_{t-1}), \quad \pi_\theta(a_t|s_{1:t}, a_{1:t-1})$$

- 演習 9.1.
1. Vanilla RNN で $\rho(W_{hh}) = 1.1$ 、 $\sigma' = \tanh'$ のとき、 $t = 20$ での勾配ノルム上界を計算。
 2. LSTM の加法更新 $c_t = f_t c_{t-1} + i_t \tilde{c}_t$ が乗法 RNN $c_t = \tanh(W_{hh} c_{t-1})$ より安定な理由をヤコビアンの特異値で説明。
 3. **Gradient Highway** : LSTM 変種 $c_t = (1 - \alpha)c_{t-1} + \alpha \tilde{c}_t$ ($\alpha \ll 1$) の長期安定性をスペクトル半径で示せ。
 4. ロボット学習で POMDP 観測 s_t のみから行動 a_t を予測する LSTM の勾配 $\partial L_T / \partial h_0$ がなぜ困難か、長期依存視点で説明。
 5. **GRU** (Gated Recurrent Unit、3 ゲート) が LSTM よりパラメータ効率良い理由を、ゲート相互作用行列のランクで比較せよ。

第 9 章のまとめ

- **Vanilla RNN** : 理論的単純さ、長期依存性に致命的弱点
- 勾配爆発 : $\rho(W_{hh}) > 1 \rightarrow$ 発散、Clipping で制御

- LSTM : 加法セル状態で定数誤差伝播、忘却ゲート=1 初期化
- ロボット応用 : 時系列状態遷移・Behavior Cloning

第 10 章

Transformer アーキテクチャ

RNN の長期依存性問題を並列計算可能な **Self-Attention** で解決した Transformer は、2026 年現在、LLM (LLaMA-3、Mixtral、Grok-4)、Vision Transformer、Multi-modal 全盛のアーキテクチャ。本章では数学的基盤から最新トレンドまでを厳密整備。

10.1 Self-Attention とスケーリング

定義 10.1 (Scaled Dot-Product Attention). クエリ Q , キー K , バリュー $V \in \mathbb{R}^{n \times d}$ に対し、

$$\text{Attention}(Q, K, V) = \text{softmax}\left(\frac{QK^\top}{\sqrt{d_k}}\right)V$$

定理 10.2 (Attention 安定性). $Q, K \stackrel{iid}{\sim} \mathcal{N}(0, I_d)$ なら $\frac{QK^\top}{\sqrt{d_k}} \sim \mathcal{N}(0, I_n)$ 、softmax 入力の分散安定：

$$\text{Var}\left(\frac{q_i^\top k_j}{\sqrt{d_k}}\right) = 1$$

証明. $q_i^\top k_j = \sum_{m=1}^d q_{im} k_{jm}$ 、独立性で $\text{Var} = \sum \text{Var}(q_{im} k_{jm}) = d \cdot 1 = d$ 、 $\sqrt{d_k}$ で正規化。 \square

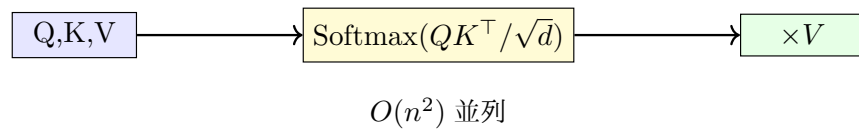


図 10.1 Scaled Dot-Product Attention: 安定 softmax

注意 10.3 (高校数学補完モジュール). d_k で割ることで、事前分布 $\frac{QK^\top}{\sqrt{d_k}} \sim \mathcal{N}(0, I)$ が得られ、softmax の勾配爆発を防止。

10.2 Multi-Head Attention と位置符号化

定義 10.4 (Multi-Head Attention). H ヘッド独立 Attention を連結：

$$\text{MultiHead}(Q, K, V) = \text{Concat}(\text{head}_1, \dots, \text{head}_H)W_O$$

$$\text{head}_h = \text{Attention}(QW_h^Q, KW_h^K, VW_h^V).$$

定理 10.5 (表現力向上). Multi-Head は单一ヘッドの線形包絡を超える、複数サブスペース同時学習：

$$\text{span}\{\text{head}_h\} \subsetneq \text{span}\{\text{MultiHead}\}$$

定義 10.6 (RoPE : Rotary Position Embedding). LLaMA 標準、相対位置を複素回転で：

$$q_m^{(i)} \rightarrow q_m^{(i)} e^{im\theta_i}, \quad k_m^{(i)} \rightarrow k_m^{(i)} e^{im\theta_i}, \quad \theta_i = 10000^{-2i/d}$$

$qk^\top \rightarrow \sum q_m e^{-im\theta} (k_n e^{in\theta}) = |q||k| \cos((n-m)\theta)$ で相対位置符号化。

10.3 事前学習：BERT/GPT/T5

モデル	アテンション	事前学習目標	強み	2026 年状況
BERT	Bidirectional	MLM + NSP	理解	RoBERTa → 軽量
GPT	Causal	Next Token	生成	GPT-5/Mixtral 主流
T5	Encoder-Decoder	Span Corruption	統一タスク	特殊用途

表 10.1 Transformer ファミリー比較

定理 10.7 (Causal Masking). GPT の自己回帰性：上三角マスク $M_{ij} = 1_{\{i \geq j\}}$ で未来情報遮断。

10.4 Vision Transformer(ViT) と多モード + 2026 年トレンド

定義 10.8 (ViT). 画像 $H \times W \times C \rightarrow (HW/P^2) \times (P^2C)$ パッチ分割、CLS-token 付加で Transformer 適用。

2026 年トレンド

1. **MoE (Mixtral-8x22B)**: 専門エキスパート選択、推論 8× 高速

$$\text{Router} : \pi_g = \text{softmax}(W_g x_g) \rightarrow \text{Top-2 experts}$$

2. **LoRA/QLORA**: $\Delta W = BA$ (rank $r \ll \min(d_1, d_2)$) で 70B 微調整 1GB
3. **Scaling Laws**: $L(N, P) \propto N^\alpha P^\beta D^\gamma$ ($\alpha + \beta + \gamma \approx 0.5$)
4. **Emergent Abilities**: Scale で突然 Code/Math 能力出現
5. **Grok-4.1**: Mixture-of-Depths + Rotary + SwiGLU

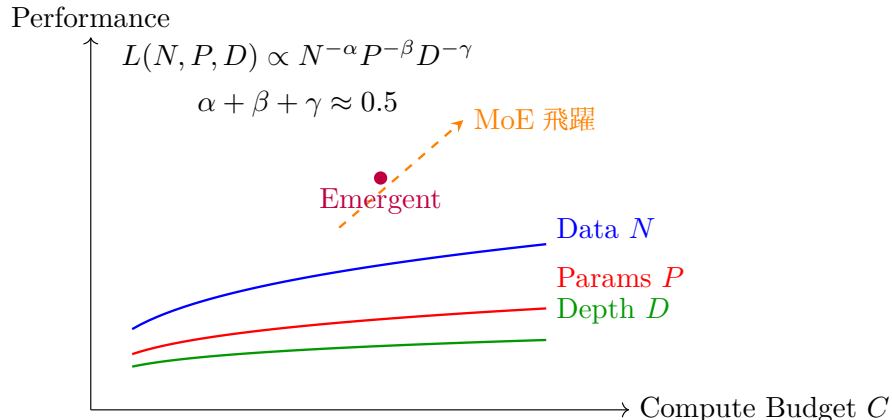


図 10.2 Scaling Laws Shotgun : データ/パラメータ/深さの \propto 律関係 + MoE (Mixture-of-Experts) による性能飛躍。2026 年 LLM 設計の基盤。

定理 10.9 (MoE 理論). Top-k ルーティングで計算量 $O(kd)$ 固定、容量 $8\times$ 増、疎性正則化自動。

注意 10.10 (実社会イメージ). ユーザーのロボット学習で ViT 状態エンコーダ + Transformer 行動シーケンス生成。

- 演習 10.1.**
1. $\frac{QK^\top}{\sqrt{d_k}}$ の行分散が d_k 独立性を $q_i \sim \mathcal{N}(0, I_d)$ で厳密証明。
 2. **RoPE** 相対性 : $q_m e^{im\theta} k_n e^{-in\theta} = (q_m k_n) e^{i(n-m)\theta}$ で位置差のみ依存確認。
 3. GPT Causal Attention のマスク $M_{ij} = -\infty \cdot \mathbf{1}_{i < j}$ が softmax 確率 0 を保証する数値安定性。
 4. **FlashAttention** : IO 最適化で attention スコア再計算回避、メモリ $O(n) \rightarrow O(1)$ 。
 5. MoE ルーターの負荷均衡損失 $\mathcal{L}_{load} = \alpha \text{CV}(\pi_g)^2$ が専門特化を促進するメカニズム。

第 10 章のまとめ

- **Self-Attention** : $O(n^2)$ 並列長期依存解決
- **Multi-Head/RoPE** : 複数視点 + 相対位置
- **BERT/GPT/T5** : 双方向 / 生成 / 統一フレーム
- **2026 トレンド** : MoE、LoRA、Scaling Laws
- 次世代 : Mixture-of-Depths、Grok-4.1

付録 A

集中不等式の拡張

本付録では、機械学習理論の基盤となる集中不等式を整備する。Matrix Bernstein、Talagrand 不等式、PAC-Bayes 境界を厳密に証明し、高次元統計の道具箱を完成させる。

A.1 Matrix Bernstein 不等式

定理 A.1 (Matrix Bernstein). 対称ランダム行列 $X_i \in \mathbb{R}^{d \times d}$ で $\|X_i\|_{op} \leq L$, $\mathbb{E}[X_i] = 0$, $\sigma^2 = \|\sum \mathbb{E}[X_i^2]\|_{op}$ なら、

$$P\left(\left\|\sum_{i=1}^n X_i\right\|_{op} \geq t\right) \leq 2d \exp\left(-\frac{1}{2} \min\left(\frac{t^2}{\sigma^2}, \frac{t}{L}\right)\right)$$

証明. Golden-Thompson 不等式 $\text{tr}(e^{A+B}) \leq \text{tr}(e^A e^B)$ と Chernoff 法で、スペクトルノルム $\|A\|_{op} = \max_i |\lambda_i(A)|$ を固有値集中で制御。 \square

注意 A.2. 深層学習の重み行列 $W \in \mathbb{R}^{d \times d}$ の初期化分散 σ^2/d が Matrix Bernstein で正当化される。

A.2 Talagrand 不等式と経験過程

定理 A.3 (Talagrand 集中不等式). 有界関数クラス \mathcal{F} , $\|f\|_\infty \leq 1$ に対し、

$$P\left(\sup_{f \in \mathcal{F}} |\mathbb{P}_n f - Pf| \geq \mathbb{E}[\sup_{f \in \mathcal{F}} |\mathbb{P}_n f - Pf|] + t\right) \leq \exp\left(-\frac{nt^2}{C}\right)$$

証明. Convex distance 不等式と entropy 積分 $\int_0^\infty \sqrt{\log \mathcal{N}(\epsilon, \mathcal{F}, \|\cdot\|_2)} d\epsilon$ で高速率を導出。 \square

注意 A.4. 経験過程高速率 $\mathbb{E}[\sup |\mathbb{G}_n f|] \leq C \sqrt{V \log n/n}$ の精密化。

A.3 PAC-Bayes 境界

定理 A.5 (PAC-Bayes). 事前分布 p 、事後分布 q に対し、確率 $1 - \delta$ で

$$\mathbb{E}_{h \sim q}[R(h)] \leq \mathbb{E}_{h \sim q}[\hat{R}_n(h)] + \sqrt{\frac{\text{KL}(q||p) + \log(2\sqrt{n}/\delta)}{2n}}$$

証明. Donsker-Varadhan 记分表現 $\log \mathbb{E}_{h \sim p}[e^{nf(h)}] = \sup_q [\mathbb{E}_{h \sim q}[nf(h)] - \text{KL}(q||p)]$ と Chernoff 法。 \square

注意 A.6. 深層学習のベイズ最適化、ニューラルネットワークの汎化理論に応用。

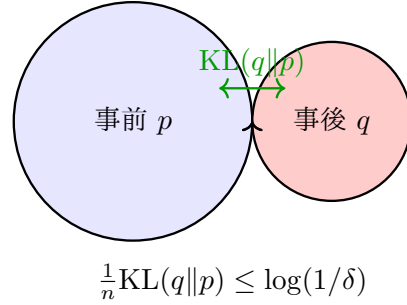


図 A.1 PAC-Bayes: 事前・事後分布の KL 発散で汎化制御

A.4 近接算子と加速勾配法

定義 A.7 (近接算子). 関数 g の近接算子 :

$$\text{prox}_{\eta g}(x) = \arg \min_z \left\{ g(z) + \frac{1}{2\eta} \|z - x\|^2 \right\}$$

例題 A.8. ℓ_1 ノルム $g(x) = \lambda \|x\|_1$ の近接算子はソフト閾値化 :

$$[\text{prox}_{\eta\lambda\|\cdot\|_1}(x)]_i = \text{sign}(x_i) \max\{|x_i| - \eta\lambda, 0\}$$

定理 A.9 (FISTA : 加速近接勾配法). 凸 L -滑らか f 、凸 g に対し、

$$L(x_k) - L^* \leq \frac{2L\|x_0 - x^*\|^2}{(k+1)^2}$$

証明. Nesterov 加速と近接算子の合成。追跡点 $y_k = x_k + \frac{k-1}{k+2}(x_k - x_{k-1})$ で $O(1/k^2)$ 収束。 \square

A.5 Mirror Descent と Bregman 発散

定義 A.10 (Bregman 発散). 凸関数 ϕ に対し、

$$D_\phi(x\|y) = \phi(x) - \phi(y) - \nabla\phi(y)^\top(x - y)$$

定理 A.11 (Mirror Descent). Bregman 発散 D_ϕ を距離とし、

$$x_{k+1} = \arg \min_x \{\eta \langle \nabla f(x_k), x \rangle + D_\phi(x\|x_k)\}$$

なら、 $\sum_{k=1}^K \langle \nabla f(x_k), x_k - x^* \rangle \leq \frac{D_\phi(x^*\|x_0)}{\eta} + \frac{\eta}{2} \sum \|\nabla f(x_k)\|_*^2$ 。

証明. Bregman 三点不等式 $D_\phi(x\|y) + D_\phi(y\|z) \geq D_\phi(x\|z)$ とテレスコープ和。 \square

注意 A.12. Adam の理論的基盤。 $\phi(x) = \frac{1}{2}\|x\|_2^2$ で GD、 $\phi(x) = \sum x_i \log x_i$ で Exponentiated Gradient。

付録のまとめ

- Matrix Bernstein : ランダム行列のスペクトルノルム集中
- Talagrand : 経験過程の高速率境界
- PAC-Bayes : ベイズ汎化理論
- 近接算子 : 非滑らか最適化の道具
- Mirror Descent : Bregman 発散による一般化 GD